

9349

Bibl. Jap.

II





[Faint, illegible handwriting throughout the page, possibly bleed-through from the reverse side.]

Le déplacement de cette limite engendrerait une
puisque la transgression de cette limite produirait une rupture qui causerait
la formation
la naissance d'une surface de discontinuité.

~~Mais~~ Des telles surfaces de discontinuité ~~ne~~ devraient ~~devoir~~ prendre
Or, la théorie ~~est~~ que
la vitesse de
laquelle, qui ~~est liée~~ ^{est liée} au ^{l'écartement de} la pression ~~par~~ ^{per} la relation $p = \rho \cdot g \cdot h$
à chaque ^{au} point, ~~il s'agit~~ ^{il s'agit} de la formule
infinie, ce qui ~~peut~~ ^{peut} être démontré ~~facilement~~ ^{facilement} par les
Il en résulte ~~la~~ ^{la} formation de telles surfaces de discontinuité dans ces endroits
nécessaire ~~à~~ ^à ~~des~~ ^{des} que ~~toutefois~~ ^{toutefois} des telles surfaces
~~de~~ ^{de} ~~telles~~ ^{telles} ~~surfaces~~ ^{surfaces} ~~de~~ ^{de} ~~discontinuité~~ ^{discontinuité}
(toutefois) vulnérabilité : incision

Dans le cas mentionné ~~on se~~ ^{il} fait s'agir, d'après ~~cela~~
que le liquide se fonde ^{au} ~~à~~ la surface de l'organe, et que ~~la~~
~~surface~~ (ce que nous appelons veine d'efflux ~~est~~ ^{est} ~~produite~~ ^{produite} par
la surface de discontinuité, où la pression est nulle, produit $\rho \cdot g \cdot h$
séparant les parties centrales, animées d'un mouvement rapide, ~~des parties~~
de l'eau ^{dormante} à l'extérieur
du reste du liquide stagnant, en dehors.

Cette théorie (dans le cas des deux dimensions)
en donne lieu à l'emploi ^{des} ~~de~~ ^{des} ~~fonctions~~ ^{fonctions} complexes
à l'emploi ^{des} ~~de~~ ^{des} ~~fonctions~~ ^{fonctions} complexes
a été le point de départ d'une quantité de recherches sur des formes
~~et~~ ^{est} ~~travaillé~~ ^{travaillé} dans un ~~domaine~~ ^{domaine} ~~non~~ ^{non} ~~limité~~ ^{limité} ~~de~~ ^{de} ~~la~~ ^{la} ~~physique~~ ^{physique}
spéciales des veines) ^{très} ~~intéressantes~~ ^{intéressantes} ~~au~~ ^{au} point de vue mathématique
qui forment ~~un~~ ^{un} ~~domaine~~ ^{domaine} ~~considérable~~ ^{considérable} de l'h. classique
sur lesquelles ~~de~~ ^{de} ~~reposer~~ ^{reposer}
hypothèses ~~qui~~ ^{qui} ~~les~~ ^{les} ~~concernent~~ ^{concernent}

Mais il paraît qu'on ~~ne~~ ^{essaye} ~~peut~~ ^{peut} jamais de vérifier les fondamentales

de cette théorie d'une façon expérimentale.
Et il faut un organe ^{notre} ~~qui~~ ^{qui} ~~peut~~ ^{peut} ~~être~~ ^{être} ~~accepté~~ ^{accepté} sans contradiction
que cette théorie n'a

Au lieu de dépasser cette limite ^{le liquide se déchirerait} il ~~produirait~~ et il s'y produirait une
la rupture engendrait un sursaut de densité

la supposition des
 En effet, l'hypothèse des surfaces de discontinuité, quoique légitime
 où une partie du liquide glisse sur l'autre, animée d'une vitesse différente
 où deux parties du liquide à vitesses différentes sont en contact)
 justifiée dans le cas des liquides idéels, est ~~absolument~~ inadmissible
 pour les liquides réels, dotés d'une certaine viscosité, puisque les tensions
 tangentes ~~doivent~~ ^{deviendront} ~~doivent~~ ^{devenir} infinies.

On ^{en} ~~pourrait~~ faire usage ~~avantageux~~ quelquefois comme d'une fiction
 mathématique

On ne peut que la regarder comme une fiction mathématique, dont l'usage
 quelquefois peut être
 peut être ~~quelques~~ ~~avantageux~~ (d'ailleurs ~~on~~ ~~peut~~ ~~pas~~) qu'on ait prouvé
 que les conséquences ne sont ^{ni ont une valeur} ~~de~~ nature fictive, ~~une~~ aussi.

~~Voici qui me paraît le plus important c'est que~~
 et ~~sur~~ surtout, la supposition des liquides idéels s'écarte ~~de~~ de la
 réalité dans un détail de la plus grande importance, en admettant un
 glissement parfait le long des parois du vaisseau et de l'organe, tandis que les
 liquides réels y forment une couche adhérente immobile.

D'autre part, comme j'ai démontré dans -- les équations
 ordinaires des fluides ^{si l'on} ~~ne~~ ^{tient compte de la viscosité} sont suffisantes pour prouver la nécessité
 d'un ~~des~~ phénomène caractéristique en question : de l'asymétrie des lignes
 de flux, par rapport à la surface parois de réparation.

Lorsque le mouvement est assez lent pour ~~négliger~~ permettre l'omission
 des termes du second degré ^{par rapport aux vitesses} dans les équations du mouvement
 en comparaison avec ceux du premier degré

[The page contains extremely faint, illegible handwriting, likely bleed-through from the reverse side of the paper. The text is too light to transcribe accurately.]

~~ne sont pas~~ ^{sont pas} tangées

flux ne changeant pas par la substitution de au lieu de
c'est à dire les lignes de flux ne changeant pas de forme (uniquement de direction) par suite d'une inversion des différences de pression, et par conséquent elles doivent être symétriques des deux côtés de l'orifice, pourvu que les parois ~~de l'orifice~~ soient symétriques.

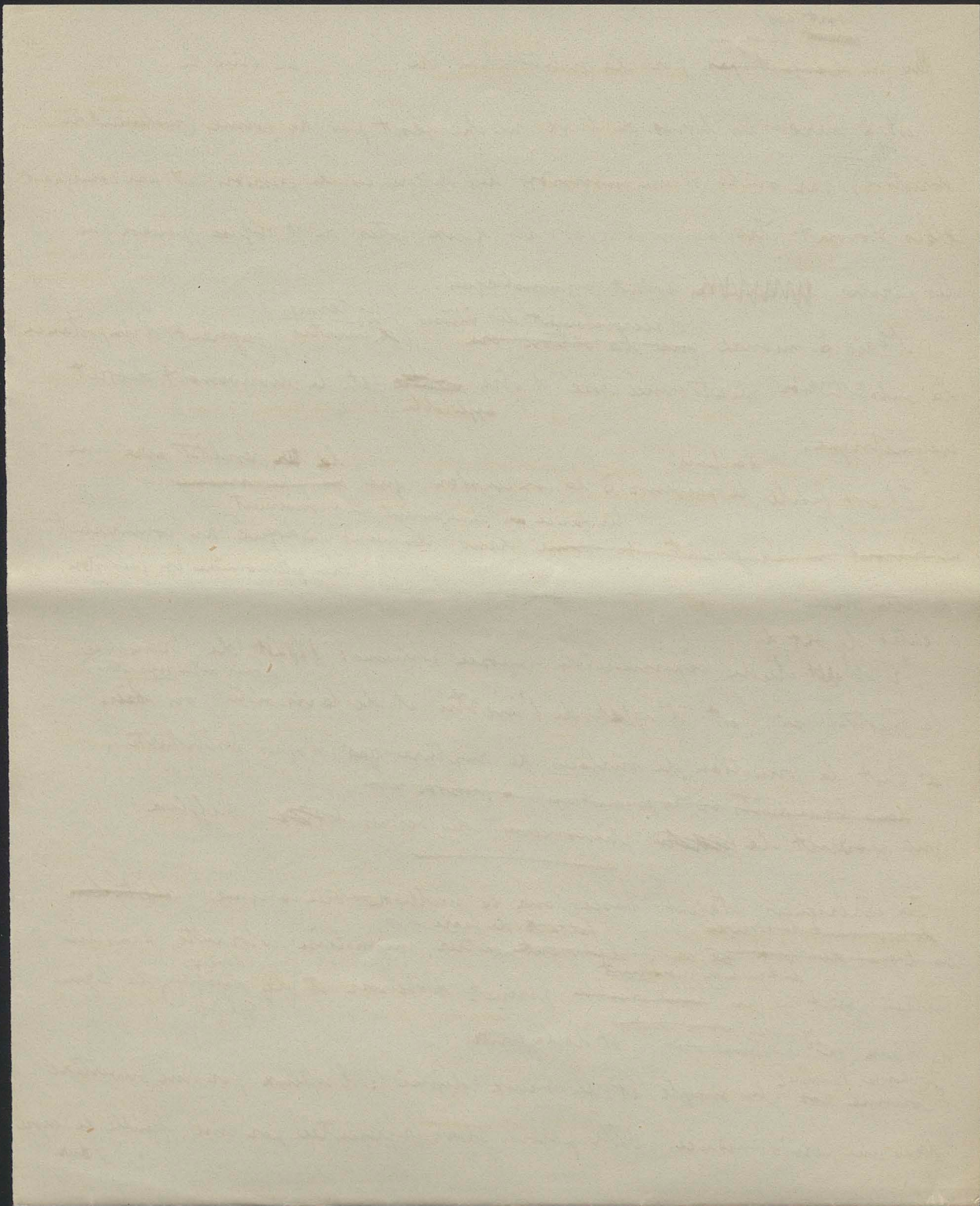
Mais à mesure ^{d'accroissement des vitesses} ~~que la vitesse ou~~ ^(les termes) d'inertie gagnent d'importance, la substitution mentionnée cesse d'être ~~possible~~ et le mouvement devient asymétrique.

Il est facile ^{d'ailleurs} de parvenir à la conclusion ^{que ce phénomène} ~~produit un changement de forme dans le sens indiqué au commencement~~ ^{le résultat sera une} ~~de cette étude~~ ^{tendance au changement du mouvement} ~~des phénomènes en question.~~

Or ~~l'étude~~ ^{c'était le but de} l'étude expérimentale exposée ci-dessus: ~~de trancher~~ ^{d'après notre expérience} la question si c'est l'effet de l'inertie et de la viscosité, ^{ou bien} si c'est la formation de surfaces de rupture ^{d'après Helmholtz} dans les endroits où la paroi ~~est vis~~ ^{à paroi vis}, qui produit le ~~phénomène~~ phénomène des vortices ~~de flux~~ d'afflux.

Les expériences étaient basées sur la méthode bien connue, ^{l'étude} ~~de mouvement de l'écoulement~~ ^{faisant de faire} les lignes de flux ~~se en y passant~~ ^{entrer une matière colorante dans un} certain point, ce qui ^{de l'écoulement} ~~est visible~~ ^{permet d'observer et de} ~~de flux qui y passent~~ ^{conque} et de la copie.

Je choisis l'exemple ^{le plus simple et le mieux défini}: l'afflux par une ouverture dans une paroi mince. Cette paroi était représentée par une feuille de caoutchouc ^{dure}.



~~l'épaisseur~~ ^{séparant} qui ~~formait~~ ^{separant} les deux parties d'un tube
 en verre (diamètre) ^{base, aplatis & polis, y étaient fixés avec des}
~~sur elle.~~ L'ouverture, ^{au centre de la feuille} ~~centrale~~ ^{était traversée par le}
 avait une forme circulaire (diamètre) ; ses bords étaient arrondis.

Les extrémités opposées des tubes étaient fermées par des bouchons, ^{avec des}
~~deux~~ tuyaux d'entrée et de décharge, dont l'un était construit d'une
 façon spirale, avec une pointe perçue d'un fort petit trou, ce qui avait pour
 but d'obtenir le mouvement ^{de rotation} comme il était nécessaire d'employer des vitesses
~~très petites.~~ ^{On peut voir} ~~Les vitesses choisies~~ ^{étaient déterminées par le hauteur du réservoir}
~~après du~~ ^{en élevant le réservoir} ~~taux de décharge,~~ ^{leurs vitesses}
~~des feuilles~~ ^{qui s'y trouvaient} ~~et qui pouvaient~~ ^{être réduites à mesure de la}
~~par détermination~~ ^{obtenus par une détermination} spirale.

L'introduction de la matière colorante se faisait par moyen d'un tube
~~par lequel~~ ^{allongement} ~~terminé~~ ^{de fin} par un ^{mince} ~~tube~~ ^{dirigé}
 par moyen d'un ^{pressé étroit} ~~anneau~~ ^{litté} et d'une boîte hermétique de façon que le point,
 d'où sortait la matière colorante, pouvait être plus ou moins approché à la
 parois de séparation ^{en passant} ~~et en même temps~~ ^{adossant en outre, contre} ~~en passant~~ ^{une rotation latérale}
~~par lequel~~ ^{ou} ~~rotatoire~~ ^{permettait} ~~de tube~~ ^{enroulé} ~~passant~~ ^{d'un} ~~moment~~ ^{rotatoire} ~~du tube.~~

Le liquide coloré y ~~sortait~~ ^{en petites} en quantités très petites, pour éviter l'influence sur les
 lignes de flux, par suite de la pression ^{hydrostatique} ~~exercée~~ ^{par un} ~~petit~~ ^{reservoir} ~~situé~~ ^{plus} ~~haut.~~
~~La substance employée~~ ^{ce qui était affecté} C'était de l'encre bleu ordinaire (-) ^{mais filtrée avec soin} ~~quelques~~ ^{employés} ;
 sa densité était mesurée et ~~celle~~ ^{celle} de l'eau employée y était égalée
 par l'addition d'une petite quantité de sel ---

pa f
ms r

[The page contains several lines of extremely faint, illegible handwriting, likely bleed-through from the reverse side of the paper. The text is mirrored and difficult to decipher.]

En concordance avec nos remarques sur l'importance de l'inertie et de la viscosité
l'asymétrie s'accuse de plus en plus ^{à mesure d'accroissement de la tangence et} ~~pour les vitesses élevées~~ ^{et} ~~les courbes~~
~~obtenues avec la méthode usuelle par montage que des traces, et il converge~~

~~sans doute, à une limite asymétrique pour des vitesses voisines.~~

Cette disparition de la symétrie et ~~formation~~ ^{concentration} ~~des lignes d'afflux dans la veine~~
~~resort~~ ^{d'une façon} plus nette ~~encore~~ dans les figures

Elles sont le résultat d'une série des dessins obtenus par superposition des
des lignes ~~diverses~~ ^{parfaites} pour ~~des vitesses~~ ^{une} donnée.

Un détail remarquable c'est la formation des ~~tourbillons~~ ^{tourbillons}
annulaires, ~~qui~~ ^{entourant} la veine centrale, ~~qui~~ ^{se} ~~voient~~ ^{très} ~~nettement~~
dans la figure ~~qui~~ ^{est} ~~obtenue~~ ^{qu'on} ~~par~~ ^{pourrait} ~~avoir~~
ainsi que le point P se trouvant du côté de la veine d'afflux.

Elle donne le moyen de définir ce qu'on peut appeler surface de la veine,
c'est à dire : la surface ^{qui} ~~separe~~ ^{separe} les lignes de flux provenant de l'espace...
et des lignes closes tourbillonnaires ^{en} ~~prenant~~ ^{son} ~~origine~~ ^{est} ~~au~~ ^{un} ~~bord~~
de l'ouverture... ^{donc} ~~le~~ ^{est} ~~évident~~ ^{qu'} ~~qu'~~
mouvement ^{de la veine} ~~quoiqu'~~ ^{avec} ~~une~~ ^{viscosité} ~~inférieure~~ ^{et} ~~rien~~ ^{n'} ~~indique~~ ^{l'existence}
d'une des ~~continuité~~ ^{de} ~~vitesses~~.

Ces tourbillons ~~vanissent~~ ^{représentent} avec ~~diminution~~ ^{diminution} de vitesse, la fig.
~~se~~ ^{montre} ~~encore~~ ^{encore} ~~la~~ ^{la} ~~convergence~~ ^{convergence} ~~des~~ ^{des} ~~lignes~~ ^{lignes} ~~de~~ ^{de} ~~flux~~ ^{flux} ~~environnants~~
mais ~~se~~ ^{la} ~~représenté~~ ^{représenté} par la fig. ^{où} ~~il~~ ^{il} ~~n'y~~ ^{n'y} ~~a~~ ^a ~~une~~ ^{une} ~~trace~~ ^{trace} ~~d'asymétrie~~

rien n'en pourrait être déduit limite

* Qu'il en soit permis de

[The page contains several paragraphs of extremely faint, illegible handwriting, likely bleed-through from the reverse side of the paper. The text is mirrored and difficult to decipher.]

the first thing I noticed when I stepped out of the car
was the feeling of the sun on my face. It was a warm
welcome. I had heard that the weather was perfect
and it was true. The humidity was just what I needed
after a long winter.

As I walked through the city, I was struck by the
vibrant colors and the energy of the people. The
streets were filled with life, and the music was
everywhere. I had never experienced anything like
this before. It was a new world, and I was
excited to explore it.

The food was incredible. I had heard that the
cuisine was amazing, and it was not a lie. The
flavors were bold and delicious. I had never
tasted anything like this before. It was a true
culinary experience. I was in luck. The weather
was perfect, and the food was just what I needed.

As I continued my journey, I was struck by the
beauty of the landscape. The views were breathtaking,
and the scenery was stunning. I had never seen
anything like this before. It was a true sight
to behold. The weather was perfect, and the views
were just what I needed.

The people were friendly and welcoming. I had
heard that the locals were nice, and it was true.
They were happy to help me and to share their
culture with me. I was in luck. The weather was
perfect, and the people were just what I needed.

As I continued my journey, I was struck by the
beauty of the landscape. The views were breathtaking,
and the scenery was stunning. I had never seen
anything like this before. It was a true sight
to behold. The weather was perfect, and the views
were just what I needed.

The people were friendly and welcoming. I had
heard that the locals were nice, and it was true.
They were happy to help me and to share their
culture with me. I was in luck. The weather was
perfect, and the people were just what I needed.

I have been thinking of you very much lately
 and wondering how you are getting on
 I hope you are well and happy
 I have not much news to write at present
 but I will write again soon
 Give my love to all the family
 I am your affectionate friend
 John Smith

I have been thinking of you very much lately
 and wondering how you are getting on
 I hope you are well and happy
 I have not much news to write at present
 but I will write again soon
 Give my love to all the family
 I am your affectionate friend
 John Smith

De même l'identité de la f_j obtenue avec des vitesses correspondantes 11
dans les trois relations a été constatée, et ~~il n'a pas été possible de~~ ^{et de ne pas s'expliquer} ~~qu'il n'est pas reproduit~~...

En traçant la f_j ^{tiré profit} j'ai ~~fait usage~~ ^{eu} ~~à priori~~ de cette non-linéarité dynamique
en faisant usage de l'image résultant de la vitesse correspondante dans
glissement II, puisque l'effet des courants de convection ^{pour le moment les seules} ~~seules~~ faisait sentir
dans l'eau ordinaire à un tel degré qu'on ne pouvait ~~trouver~~ ^{trouver} ~~les parties antérieures~~ que les
parties antérieures et moyennes des lignes.

Je me ~~permettais~~ d'ajouter en parenthèse que ce semble être la
première vérification expérimentale de l'identité géométrique des mouvements
en bleds. Aussi les déterminations approximatives des positions s'y accordaient
à la règle... mais ^{nous n'entrons pas dans} ~~j'entretrait pas~~ ^{ce sujet} ~~comme~~ ^{comme} ~~les détails~~, qui n'ont pas de portée
directe ^{pour} sur le sujet principal.

[Faint, illegible handwriting, likely bleed-through from the reverse side of the page.]

Pendant que les ~~faits~~ faits exposés plus haut proviennent d'une façon évidente que la formation des veines liquides ~~se passent~~^{est} causée par l'inertie et ~~par~~ la viscosité, d'autre part

L'idée fondamentale de Wehnholtz : l'abaissement de la pression ^{à l'origine} et la possibilité d'une rupture du liquide, semble ~~être~~ être bien raisonnable, ~~nous expliquons~~^{c'est} même de cette façon que nous expliquons le fonctionnement des ¹¹. Trompus : eau - et il paraissait désirable

~~Pour examiner l'appareil d'examen~~ de pousser l'étude ~~de~~^{expérimental} vers les vitesses plus grandes, qui ~~paraissent~~^{peuvent} où tels phénomènes se pourraient produire. Comme ^{le dispositif décrit} l'appareil décrit plus haut ne s'y prêtait pas, je construisis

un appareil très simple et robuste: un tube en verre (diam ~~de~~^{de}) ~~étroit~~ rétréci ^{au milieu} dans la moitié de telle façon qu'il y restait qu'une ouverture étroite, ~~de~~ [dont les dimensions, déterminées ^{à la fin} après avoir fini les ~~expériences~~^{sur le tube}, ~~sur le tube coupé en deux et~~ ~~placé~~ ~~à plat~~ étaient de ^{qui était} ~~et~~ muni dans sa partie supérieure d'un petit tube latéral servant à l'introduction du colorant, on a la communication avec un manomètre.

D'abord, pour examiner ^{les petites vitesses} les cas de ~~mouvement lent~~, ce tube fut mis en communication, avec ~~l'interposition~~^{un} d'un diaphragme ~~et~~ avec un réservoir ^{d'eau} (à niveau plus haut, causant une petite différence de pression. Les lignes de flux colorés mettaient en évidence les ~~points~~ traits caractéristiques de la veine ~~des veines~~ à des vitesses si petites que $6 \frac{cm}{s}$ dans le canal (c'est-à-dire ^{à des vitesses de} pendant que l'asymétrie était disparue, au contraire avec 83 il s'y formait

[The page contains several paragraphs of extremely faint, handwritten text, likely bleed-through from the reverse side of the paper. The text is illegible due to its low contrast and orientation.]

une veine longue de ^{cylindrique} entouré de tourbillons, et sujette à des ^{petits changements oscillatoires} ~~petits oscillations périodiques~~

Evidemment, ~~avec des vitesses et petites et avec~~ ^{en regard à la ~~petite~~ lenteur du mouvement et à la petitesse de la} courbure ~~insuffisante~~ des parois, il ne peut pas être question des phénomènes de Helmholtz, et pourtant la veine ^{se forme} ~~est~~ ^{constante}.

En suite cet appareil ^{ce tube fut} ~~était~~ ^{avec son extrémité} attaché au conduit d'eau (de pression 3.5 Atm) pendant que l'extrémité inférieure ^{immédiatement} communiquait avec un vaisseau, où la pression pouvait être ^{réduite} ~~abaisée~~ ^{diminuée} par une trompe à eau.

Avant tout le tube fut rempli d'eau dans toute sa longueur. ^{Et lors,} Lorsque le robinet fut ouvert, ^{en réalité,} il y apparaissait pour une certaine durée le phénomène respecté: ~~la rupture~~ ^{une} de la veine d'eau ^{qui se déformait ou se détachait} ou un ~~déboisement~~ ^{en quittant le canal rétrécissant} du liquide environnant ~~immédiatement~~ ^{ce n'est pas} après avoir ~~par~~ ^{rétrécissant} l'apex ce qui était visible par suite de la formation ^{de} surfaces réfléchissantes à l'intérieur. Mais le phénomène n'était pas du tout permanent, ~~et~~ son caractère ^{périodique} ~~oscillatoire~~ ~~était~~ ^{intermittent} s'accusait par un bruit bourdonnant, aussi ~~voix~~ ^{on} apercevait on souvent des interruptions et, en général, une considérable irrégularité du phénomène.

En réglant l'efflux d'eau ^{de façon convenable} (on pouvait évaluer ^{les valeurs} l'approximative de la vitesse critique où ce phénomène apparaissait à 176... dans l'ouverture, ~~pendant~~ tandis que la relation ^{exigeait} une vitesse de ^{pour maintenir} la pression de ^{à zéro.} l'abolissement de

[The page contains extremely faint, illegible handwriting, likely bleed-through from the reverse side of the paper. The text is mostly mirrored and cannot be transcribed.]

Et lorsque la pression ^{externe p₂} ~~est~~ diminuée (par moyen de la trompe d'eau, le phénomène se produit ^{à 35°} dès que la vitesse v_c est atteinte, pour la pression de 255 à une vitesse de 12, ce qui correspond aux valeurs théoriques p_2 et p_2' .

En même temps l'aspect du phénomène change ^{est} avec la pression atmosphérique l'eau - toute claire jusqu'au moment où la vitesse critique ^{est} atteinte - devient trouble au delà, ce qui provient ^{du dégagement} d'une quantité de ^{très} petites bulles d'air, ~~se dégagent au moment de la rupture~~ ^{il s'y forment} mais avec l'emploi des pressions basses (des bulles grandes ^{apparaissent} avec ^{une} violence ~~violente~~ comme dans de l'eau bouillante.

On pourrait espérer que ^{la vitesse d'affleurement} cette vitesse sera critique indépendante de la pression ^{inter} ~~externe p₂~~ si ~~la p₂~~ ^{pourvu} que la vitesse critique soit atteinte puisqu'au la pression ~~est~~ ^{est} au près de l'orifice avait toujours la même valeur zéro. Mais cette conclusion ^{n'a pas été} ne fut pas vérifiée par l'expérience, au contraire, on constatait toujours ^{un} accroissement de vitesse ^{en} par suite d'augmentation de ^{la} pression ^{et des différences entre les valeurs calculées et observées des vitesses critiques}.

Les causes de cette divergence ^{la} sont sans doute les mêmes : le caractère instable, oscillatoire du phénomène (d'une part ^{et la} ~~la~~ ^{négligence} de la viscosité du liquide qui défie tous les calculs basés sur l'abstraction ^{d'autre part} des logiques idéales. ^{en ce qui concerne}

[Faint, illegible handwriting, likely bleed-through from the reverse side of the page.]

Nous résumerons les conclusions ^{définitives} de ces expériences:

Le phénomène de Helmholtz, c'est à dire le ^{déchirement de la masse liquide} rupture de la ligne qui trait une ouverture ^{petite} peut avoir lieu, en vérité, si la vitesse dépasse une valeur considérable

(1^{re} doc. - mais c'est un phénomène secondaire qui n'a rien à faire avec la formation des vagues d'afflux mêmes, qui commencent ^{peut} à des vitesses ^{quelques centaines de fois} plus que cent fois plus petites.

La théorie de H. ^{sans doute,} est très intéressante ^{sur} point de vue théorique, puisqu'elle démontre la possibilité de tels phénomènes dans des liquides réels, mais son application aux liquides réels n'est nullement justifiée, même pour ^{de} telles vitesses, ce que démontre le fait de l'intermittence du phénomène et les ^{du cas de} ~~disaccord des vitesses calculées et observées~~ ^{et de l'observation directe}

Il paraît que c'est un cas analogue au mouvement des corps plongés dans un liquide, où les calculs basés sur l'idéalité des liquides et ne tenant ⁿⁱ compte de la dissipation d'énergie ⁿⁱ de l'adhésion aux parois, ^{aboutissent à} ~~entraînent~~ des conclusions tout à fait ^{incorrectes} erronées.

En outre, il faut remarquer que les solutions numériques trouvées dans les travaux mentionnés au commencement, exigent tous ^{des} ~~une~~ valeurs définies de vitesse d'afflux pour une pression p_1 (~~donnée~~ ^{ou} à l'aval de l'ouverture) donnée et ne ^{répondent} pas à la question qu'est ce qu'il y arrive si cette vitesse change par suite de chargement de la pression p_1 (en amont de l'ouverture)

Il y a doute si il ^{arrive} est bien dans l'eau ~~est~~ et non toute trace d'air a été enlevée

Spécialement Ceci est lié aux phénomènes des mousses turbulentes et à la formation de vagues dans les

[Faint, illegible handwriting, likely bleed-through from the reverse side of the page.]

12

[Faint, illegible handwriting throughout the page]

115/53

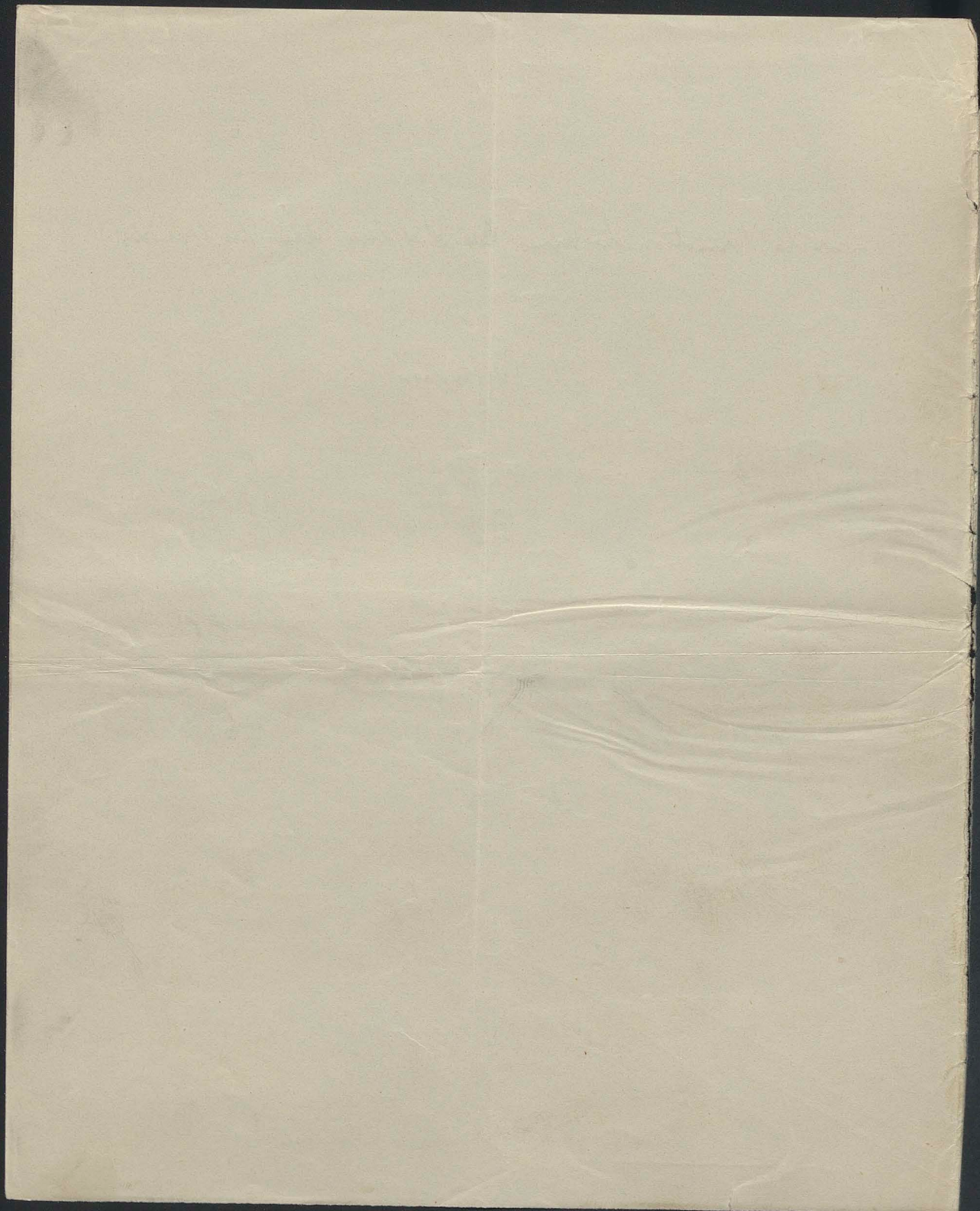
17

[26 a]

Le Bull. Ac. Cr. 1904 s. 371-84

Sur la formation des veines ~~de~~ d'afflux dans les lignites.

M. Smolnowski.



Sur la formation des veines d'efflux dans les liquides.

О повстаніи въ жидкостяхъ вытекающихъ
пер

M. M. Smoluchowski

professeur à l'université de Liège.
Mémoire présenté par M. L. Natanson m. t.
I.

Un des phénomènes les plus ordinaires de l'hydrodynamique ^{peuvent} et trop peu étudiés, de l'hydrodynamique, est la formation d'une veine d'efflux lorsqu'un liquide passe par un petit orifice avec ^{une} vitesse suffisante. On peut s'expliquer ce fait, lorsque le liquide en traversant p. ex. une ouverture dans le fond d'un ^{vasc} ~~vaisseau~~ sort dans l'air ambiant, par l'action des forces de gravité et de ^{la} tension ~~super-~~ ^{la} ~~ficielle~~ capillaire, qui ont la plus grande influence sur la forme du jet et qui peuvent causer même sa dispersion ~~en petites~~ ^{en petites} gouttelettes. ^{dans un train de}

Mais ^{même} ~~aussi~~ lorsque l'espace extérieur est rempli du même liquide (rendu visible par ^{la} différence de coloration), où ces forces ne peuvent pas opérer, le liquide y forme une veine ~~parallèle~~, au lieu de s'étendre dans toutes les directions, et ^{ce} ~~la même~~ phénomène est

[Faint, illegible handwriting on aged, yellowed paper, possibly bleed-through from the reverse side.]

19

2

bien connu en aéromécanique (colonne de fumée, jet de vapeur).

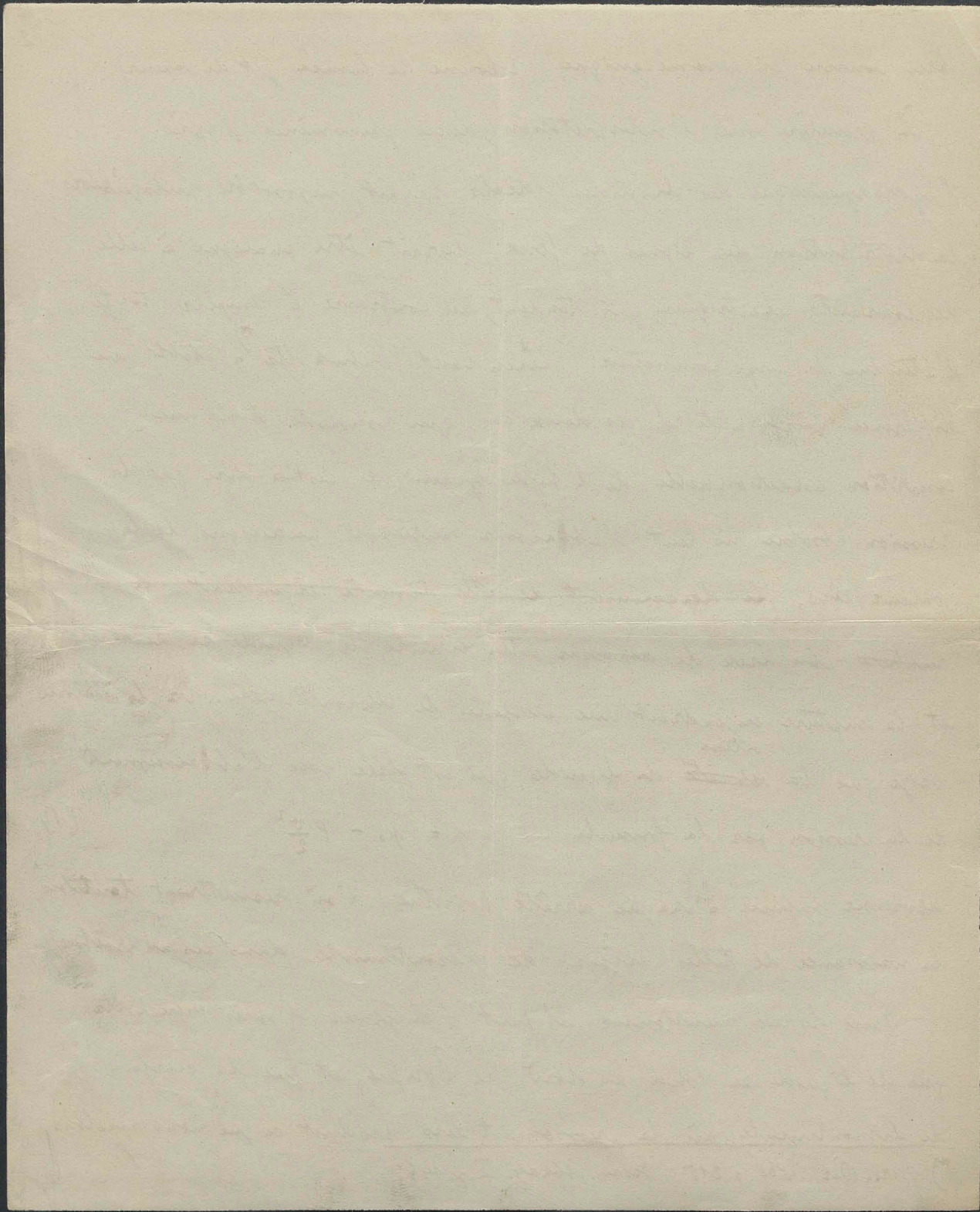
À première vue l'interprétation de ces phénomènes d'après l'hydrodynamique des liquides idéals paraît impossible, puis qu'alors la distribution des lignes de flux devrait être analogue à celle des courants électriques, qui tendent, au contraire à remplir toute l'étendue du corps conducteur. Cependant, Helmholtz*) a établi une différence importante de ces deux cas, qui consiste dans une condition additionnelle de l'hydrodynamique, c'est-à-dire que la pression absolue ne peut s'abaisser nulle part au dessous de la valeur zéro. ~~Le dépassement de cette limite engendrerait une rupture~~ Au lieu de dépasser cette limite, le liquide se déchirerait, et la rupture engendrerait une surface de discontinuité. Or, la théorie exige que la ^{vitesse} ~~vitesse~~ du liquide, qui est liée avec l'abaissement de la pression par la formule

$$p = p_0 - \rho \frac{v^2}{2} \quad (1)$$

devienne infinie à chaque arête pointue, d'où résulterait toutefois la naissance de telles surfaces de discontinuité, dans ces endroits.

Dans le cas mentionné il faut s'imaginer, d'après Helmholtz, que le liquide se fend au bord de l'orifice, et que la surface de discontinuité, où la pression est zéro, produit ce que nous appelons

*) Berl. Ber. 1868 p. 215, Gesam. Abh. I p. 146.



veine d'afflux, en séparant les parties centrales, animées d'un mouvement rapide, de l'eau dormante, à l'extérieur.

Cette théorie, en donnant lieu, dans le cas de deux dimensions, à l'emploi élégant des fonctions des variables complexes, a été le point de départ d'une quantité de recherches ^{*)} sur des formes spéciales des veines, qui forment un domaine considérable de l'hydrodynamique classique, très intéressant, sans doute, au point de vue mathématique.

Mais il ~~paraît~~ ^{semble} qu'on n'a jamais essayé de vérifier les hypothèses, sur lesquelles elle repose, d'une façon expérimentale.

Et il faut remarquer que cette théorie n'a pas été acceptée sans contradiction: ~~c'est~~ c'est surtout Lord Kelvin ^{***)} qui s'oppose à l'hypothèse des surfaces de discontinuité.

En effet, la supposition d'une telle surface, où deux parties du liquide ^{et permanentes} à ~~des~~ vitesses différentes sont en contact, quoique justifiée dans le cas des liquides idéals, est inadmissible pour les liquides réels, dotés d'une certaine viscosité, puisque la friction nivellerait cette différence des vitesses dans un moment ^{†**)}. On ne peut ~~la~~ que la regarder comme une fiction mathématique, dont l'usage peut être avantageux quelquefois, mais pourvu ^{que l'on} prouve que les conséquences ne sont pas de nature fictive aussi.

**) Nature 50 p. 524 - 597 (1894)

**) Voir p. ex. Lamb Hydrodynamics p. 541.

Rethy Bessl. 1895 p. 679 etc.

*) Kirchhoff Crelle J. 70 (1869), Abh. p. 416; Mitchell Phil. Trans 1890; Rayleigh 45 (1876) p. 430

Some of the most important in the world is the
measurement made by the barometer. It is
the force of the atmosphere that keeps the
water in the sea from boiling. It is the
weight of the air that keeps the water
in the sea from boiling. It is the weight
of the air that keeps the water in the
sea from boiling. It is the weight of the
air that keeps the water in the sea from
boiling. It is the weight of the air that
keeps the water in the sea from boiling.

1847
1848
1849
1850
1851
1852
1853
1854
1855
1856
1857
1858
1859
1860
1861
1862
1863
1864
1865
1866
1867
1868
1869
1870
1871
1872
1873
1874
1875
1876
1877
1878
1879
1880
1881
1882
1883
1884
1885
1886
1887
1888
1889
1890
1891
1892
1893
1894
1895
1896
1897
1898
1899
1900

~~l'examiner~~ ^{pas} Nous ~~introduisons~~ ^{maintenant} dans la ~~question de stabilité~~ ^{si} d'un tel mouvement, ~~il est possible~~ ^{pourvu qu'il soit ~~serait~~ ~~stabilité~~} à élucider cette question, ~~à la fin de ce travail.~~ ^{au contraire} ~~l'expérience~~ ^{même}, mais il faut insister sur un détail ~~ceci~~, ce fait que l'hypothèse de la limite parfaite ^{la supposition} de la plus grande importance pour ces questions ~~encore~~, ~~à savoir que~~ ^{(des liquides} ~~liés~~ ^{pour cette théorie)} s'écarte de la réalité dans ce qui est le plus important, en admettant un glissement parfait, le long des parois du vaisseau et de l'orifice, tandis que les liquides réels y forment une couche adhérente immobile et par conséquent, ne causent pas le prétendu abaissement infini de la pression aux arêtes pointues.

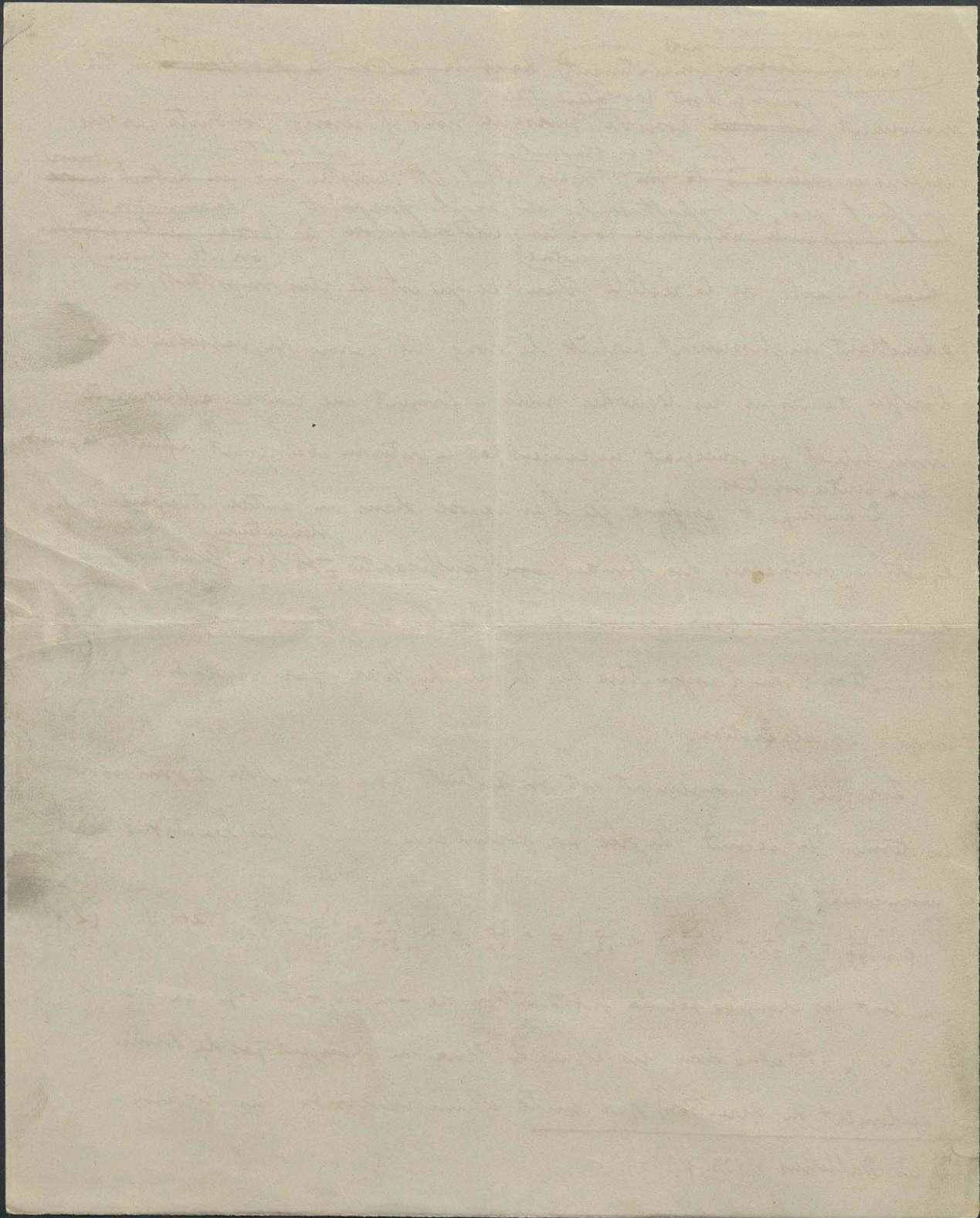
D'autre part, comme je l'ai exposé dans un autre travail ^{*)} les équations ordinaires des fluides sont suffisantes ^{si l'on tient compte} de la viscosité — pour prouver la nécessité du phénomène caractéristique en question : de l'asymétrie des lignes de flux, par rapport à la surface de séparation.

Lorsque le mouvement est assez lent pour permettre l'omission des termes du second degré par rapport aux vitesses, les équations du mouvement

$$\rho \left[\frac{\partial u}{\partial t} + u \frac{\partial u}{\partial x} + v \frac{\partial u}{\partial y} + w \frac{\partial u}{\partial z} \right] = - \frac{\partial p}{\partial x} + \mu \left[\frac{\partial^2 u}{\partial x^2} + \frac{\partial^2 u}{\partial y^2} + \frac{\partial^2 u}{\partial z^2} \right] \text{ etc.} \quad (2)$$

ne sont pas changées par la substitution de $-u, -v, -w, a-p$, au lieu de u, v, w, p ; c'est-à-dire les lignes de flux ne changent pas de forme (seulement de direction) par suite d'une inversion des différences

*) Les Bulletins 1903 p. 149.

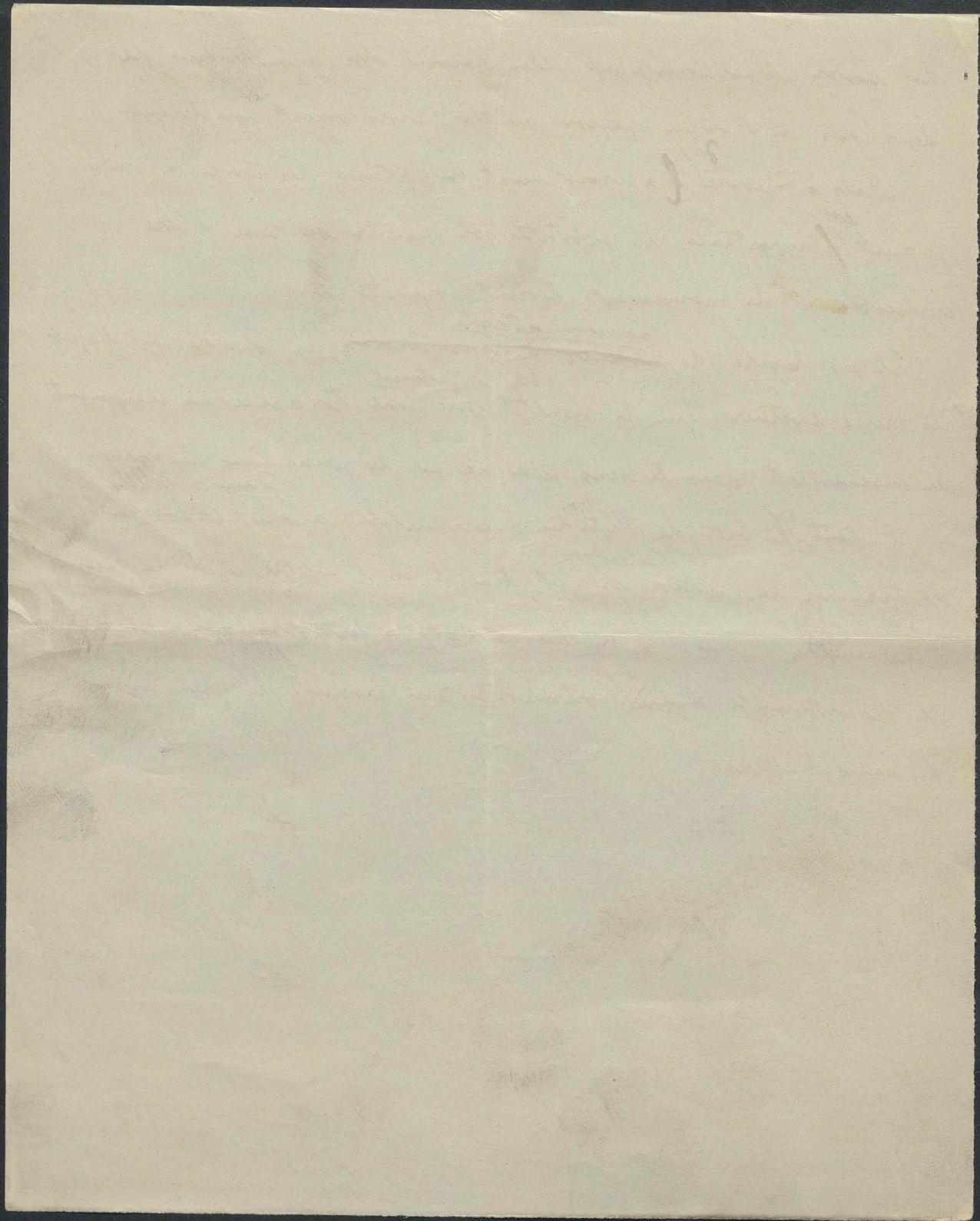


de pression, et par conséquent, elles doivent être symétriques des deux côtés de l'orifice, pourvu que les parois soient symétriques.

Mais à mesure ^{2e} que le ~~croissement~~ ^{croissement} des vitesses les termes d'inertie gagnent ^{en} l'importance, la substitution mentionnée cesse d'être applicable, et le mouvement devient asymétrique.

Il est facile de ~~parvenir~~ ^{reconnaitre} à la ~~conclusion~~, en considérant l'effet de ces deux facteurs, que le résultat sera ^{justement} une tendance au changement du mouvement dans le sens indiqué par le phénomène des veines.

C'était le but de l'étude expérimentale exposée ^{Dans ce travail} ~~dessus~~ : de trancher la question ^{de savoir} si c'est l'effet de l'inertie et de la viscosité, ^{comme nous le} ~~d'après nos suppositions~~, ou bien si c'est la formation des surfaces de discontinuité, ^{conformément aux vues} d'après Helmholtz, qui produit le phénomène des veines d'efflux.



Les expériences étaient basées sur la méthode bien connue *)
qui consiste à
 de faire entrer une matière colorante dans un certain point du liquide
 en mouvement, ce qui permet d'observer la ligne de flux qui y passe,
 et de la copier.

Je choisis comme l'exemple le plus simple et le mieux défini:
 l'afflux par une ouverture dans une paroi mince. Cette paroi
 était représentée par une feuille de cuivre dure (épaisseur 0.095 mm)
 séparant les deux parties d'un tube en verre (diamètre 45 mm)
 dont les bases, aplanies et polies, y étaient attachées avec un peu de
 cire à cacheter. L'ouverture, au centre de la feuille, qui était
 traversée par le courant du liquide, avait une forme circulaire
 (diamètre 2.45 mm); ses bords étaient arrondis.

Fig. 1.

Les extrémités opposées des tubes étaient fermées par des bouchons,
 avec des tuyaux d'entrée et de décharge, dont l'un était construit
 d'une façon spéciale, ^A avec une pointe à l'intérieur percée d'un tout
 petit trou, ce qui avait pour but de réduire les vitesses aux valeurs
 très petites exigées, comme nous verrons plus loin, dans ces expériences.

On produisait les vitesses désirées en élevant ~~de~~ le réservoir à
 l'hauteur convenable au-dessus du tuyau de décharge. Leurs valeurs

*) Oberbeck, *Wied. Ann.* 2 p. 1 (1877); Reynolds, *Phil. Trans.* 1883; Marry, *Journ. Phys.* 1 p. 192 (1902)
 et autres expérimentateurs.

... ..

... ..

... ..

... ..

... ..

... ..

... ..

... ..

... ..

... ..

...

... ..

... ..

... ..

... ..

... ..

... ..

... ..

... ..

résultaient du nombre des gouttes qui s'y écoulèrent, et de leur poids moyen, obtenu par une détermination spéciale.

L'introduction de la matière colorante se faisait ^{au} par (moyen du tube M, terminé par un allongement capillaire ^{extrêmement mince} ~~de mince diamètre~~ et guidé par l'anneau R et par la boîte hermétique D, de telle façon que le point P d'où ^{sortait} ~~sortait~~ la matière colorante, pouvait être de plus ou moins approché à la paroi de séparation, en adoptant, en outre, une distance latérale quelconque, par suite d'un mouvement rotatoire du tube M. Le liquide colorant ^{sortait} ~~sortait~~ en quantités très petites, pour éviter l'influence sur les lignes de flux, par suite de la pression exercée par un petit réservoir situé plus haut. C'était de l'encre ^(mais filtrée avec soin) bleue ordinaire dont je faisais usage pour ces expériences; sa densité à 17°0085 par rapport à l'eau de température égale (17°) était mesurée (et celle de l'eau employée y était égalisée par l'addition d'une petite quantité ^(0.12%) de sel.

La situation de l'appareil était telle que le point P et le milieu de l'ouverture se trouvaient au même niveau; par conséquent, la ligne de flux colorée, s'étendant de P dans le vaisseau B était contenue dans une ^{plan} surface horizontale, et dans la même position se trouvait son image produite sur la table, ^{au} par (moyen d'un miroir incliné, réfléchissant des rayons incidents perpendiculaires sur un prisme à réflexion totale.

...the
... ..

... ..
... ..

... ..
... ..

... ..
... ..

... ..
... ..

... ..
... ..

... ..
... ..

... ..
... ..

... ..
... ..

... ..
... ..

... ..

On avait choisi cette disposition, puisqu'alors les courants ^{de convection} produisent les moindres perturbations qui, en plus, peuvent être contrôlées toujours, en observant si la ligne de flux est bien horizontale. Ces courants engendrés par des variations de la température environnante causent bien d'ennui, lorsque la ^{horizontale} vitesse ~~du~~ liquide est petite.

Pour diminuer leurs effets il fallait envelopper l'appareil d'un large tube en verre, rempli chaque fois avec le même liquide que le vase intérieur. Ces difficultés disparaissent d'ailleurs, pour la plupart, avec l'emploi des liquides plus visqueux, d'autant plus qu'il y faut employer cæteris paribus, comme nous verrons plus loin, des vitesses plus grandes *†

Outre ces précautions il fallait ^{garder à} prendre ~~soin~~ de la purification extrême ^{lui-même} des liquides employés et de l'appareil, puisque la moindre particule de poussière suffisait à ^{engorger} la capillaire ^P ou l'ouverture A, et dans les expériences à pression diminuée, de la ^{au des contact} jonction hermétique de toutes les parties de l'appareil.

*†) En tenant compte de cette circonstance on trouve cet effet proportionnel à $\frac{\alpha \rho^2}{\mu^2}$ où α signifie le coefficient de dilatation thermique

1811

I have the honor to acknowledge the receipt of your letter of the 10th inst. in relation to the purchase of the land for the purpose of building a school house in the town of ...

I have also the honor to acknowledge the receipt of your letter of the 15th inst. in relation to the purchase of the land for the purpose of building a school house in the town of ...

I have also the honor to acknowledge the receipt of your letter of the 20th inst. in relation to the purchase of the land for the purpose of building a school house in the town of ...

I have also the honor to acknowledge the receipt of your letter of the 25th inst. in relation to the purchase of the land for the purpose of building a school house in the town of ...

I have also the honor to acknowledge the receipt of your letter of the 30th inst. in relation to the purchase of the land for the purpose of building a school house in the town of ...

I have also the honor to acknowledge the receipt of your letter of the 5th inst. in relation to the purchase of the land for the purpose of building a school house in the town of ...

I have also the honor to acknowledge the receipt of your letter of the 10th inst. in relation to the purchase of the land for the purpose of building a school house in the town of ...

Les résultats expérimentaux sont condensés dans le résumé suivant:

Voici le résumé des résultats de nos expériences:

1. On observe la formation distincte des veines d'afflux, c'est-à-dire une diminution dans la divergence des lignes d'efflux, avec des vitesses très petites ($0.5 \frac{cm}{sec}$ vitesse moyenne dans l'ouverture pour l'eau). De plus, la vitesse ^{*)} [qui peut être jugée d'après l'épaisseur ^{de la ténacité}

du filament coloré, ou directement, en observant le mouvement d'un train d'agglomérations colorées produites par des secousses périodiques]

paraissait maximum dans l'axe de la veine et diminuait vers les parois, tandis que d'après Helmholtz l'inverse aurait dû se passer, avec une valeur critique de la vitesse, nécessaire pour surmonter la pression atmosphérique ~~et~~ ~~pour~~ à former la veine, de $14 \frac{m}{sec}$.

2. Les calculs de Helmholtz et de ses successeurs ne s'appliquent qu'au cas le plus simple: des parois infiniment minces et des arêtes absolument ^{pointues}.

En réalité on devrait s'attendre, en regard à la courbure finie des bords de l'orifice, à trouver une vitesse critique, séparant le cas où l'afflux est normal et analogue au flux d'électricité, et celui où la rupture du liquide et la formation de la veine a lieu.

Les expériences n'en ont indiqué rien, au contraire, le changement de la forme des lignes d'efflux avec vitesse croissante était tout à fait continu.

C'est ce qui résulte de la figure 2, où la ligne de flux, sortant d'un point latéral P est tracée pour quelques valeurs de la vitesse: 1) 0.90; 2) 0.80; 3) 0.71; 4) 0.55; 5) 0.43; 6) $0.24 \frac{cm}{sec}$; Fig 2

[The text on this page is extremely faint and illegible due to fading and bleed-through from the reverse side. It appears to be a multi-paragraph letter or report.]

27 10

L'influence ~~graduelle~~ de la vitesse sur la partie située en aval de l'ouverture est évidente, tandis que les changements de la partie en amont étaient si petites que le dessin ne les accuse pas. En concordance avec nos remarques sur l'importance relative de l'inertie et de la viscosité, l'asymétrie ressort à mesure ^{de l'} d'accroissement de la vitesse, tandis que la courbe obtenue avec la moindre vitesse est presque symétrique.

Cette disparition de la symétrie et ^{elle} concentration graduelle des lignes d'afflux dans la veine ressort d'une façon plus nette encore dans les fig. 3, 4, 5, 6, correspondants aux vitesses 0.90, 0.45, 0.23, 0.14 $\frac{\text{cm}}{\text{sec}}$.

Elles sont le résultat d'une série de dessins, obtenus par superposition des différentes lignes produites par une vitesse donnée.

Un détail remarquable c'est la formation des tourbillons annulaires, entourant la veine centrale — développée très nettement surtout dans la fig. 3 — qu'on pouvait observer par inversion du courant, ainsi que le point P se trouvait du côté de la veine d'afflux.

Elle donne le moyen de définir ce qu'on peut appeler surface de la veine, c'est à dire : la surface qui, en prenant origine aux bords de l'ouverture sépare les lignes de flux provenant de l'espace ^{en amont} (et les lignes closes tourbillonnaires de l'espace en aval. Donc, ^{il} est évident aussi, que le liquide environnant participe au mouvement de la veine, quoique ~~avec vitesse~~ dans un degré inférieur, et rien n'indique l'existence d'une discontinuité

[The page contains extremely faint, illegible handwriting, likely bleed-through from the reverse side of the paper. The text is mirrored and difficult to decipher.]

de vitesse.

~~l'avancement~~

Ces tourbillons ~~paraissent~~ ^{l'avancement} rapidement avec diminution de vitesse ;
 la fig 5 ~~montre~~ indique en core la convergence caractéristique des lignes
 de flux ^{latérales} (en aval de l'ouverture, mais dans le cas représenté par la
 fig. 6, où il n'y a plus qu'une trace d'~~asymétrie~~ asymétrie, rien n'en
 pouvait être découvert; sans doute les courbes tendent vers une forme
^{tout à fait} symétrique pour la limite zéro de vitesse.

3). Puisque, d'après Helmholtz, la naissance de la discontinuité dépend
 de la condition, que la pression aux bords de l'orifice s'abaisse à zéro,
 il en résulte que la vitesse critique devrait satisfaire à la relation

$$v = \sqrt{\frac{2p_2}{\rho}} \dots (3)$$

où p_2 désigne la pression dans l'espace extérieur ^B

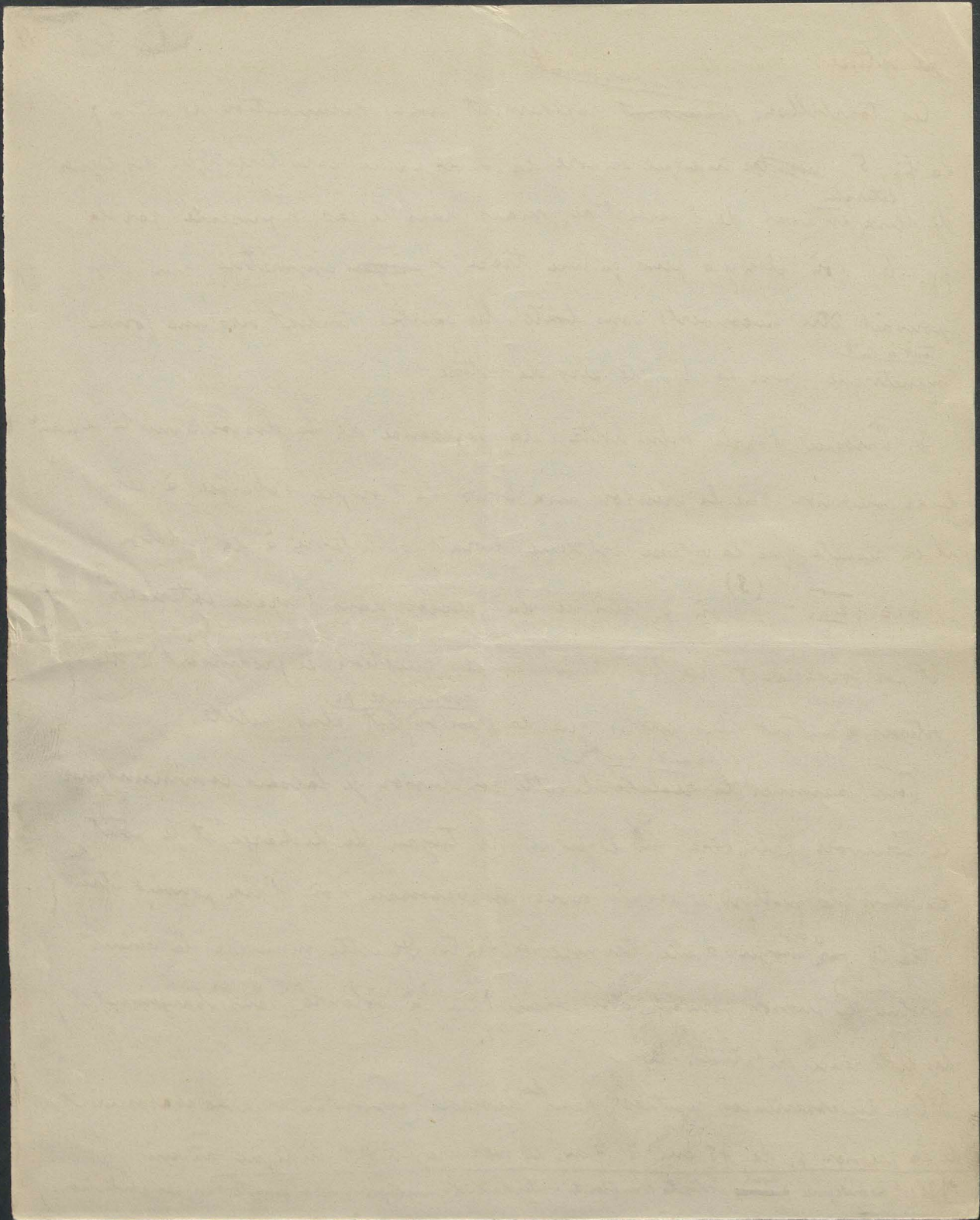
et par conséquent, que les phénomènes en question se produisent à des
 vitesses d'autant plus petites que la pression ^{extérieure p_2} est plus petite.

^{l'exactitude}

Pour examiner ~~la réalité~~ de cette conclusion, je faisais communiquer
 le réservoir primaire du liquide, le tuyau de décharge, et le petit
 réservoir de matière colorante avec un vaseau, d'où l'air pouvait être
 extrait ^{au} ~~par~~ moyen d'une trompe aspirante. De cette manière la valeur
 absolue de pression pouvait être diminuée à volonté, sans changement
 des différences relatives. *)

Or, des expériences répétées dans ^{des} diverses circonstances, avec abaissement
 de la pression p_2 de 75 cm. à 7 cm. de mercure, n'ont indiqué aucun

*) Il est avantageux ~~pour~~ éviter la formation de bulles d'air, d'employer de l'eau exempte d'air, par ébullition.



changement dans la forme des lignes de flux, ce qui nous force à rejeter définitivement ^{l'application} ~~l'applicabilité~~ de la théorie de Helmholtz aux phénomènes en question.

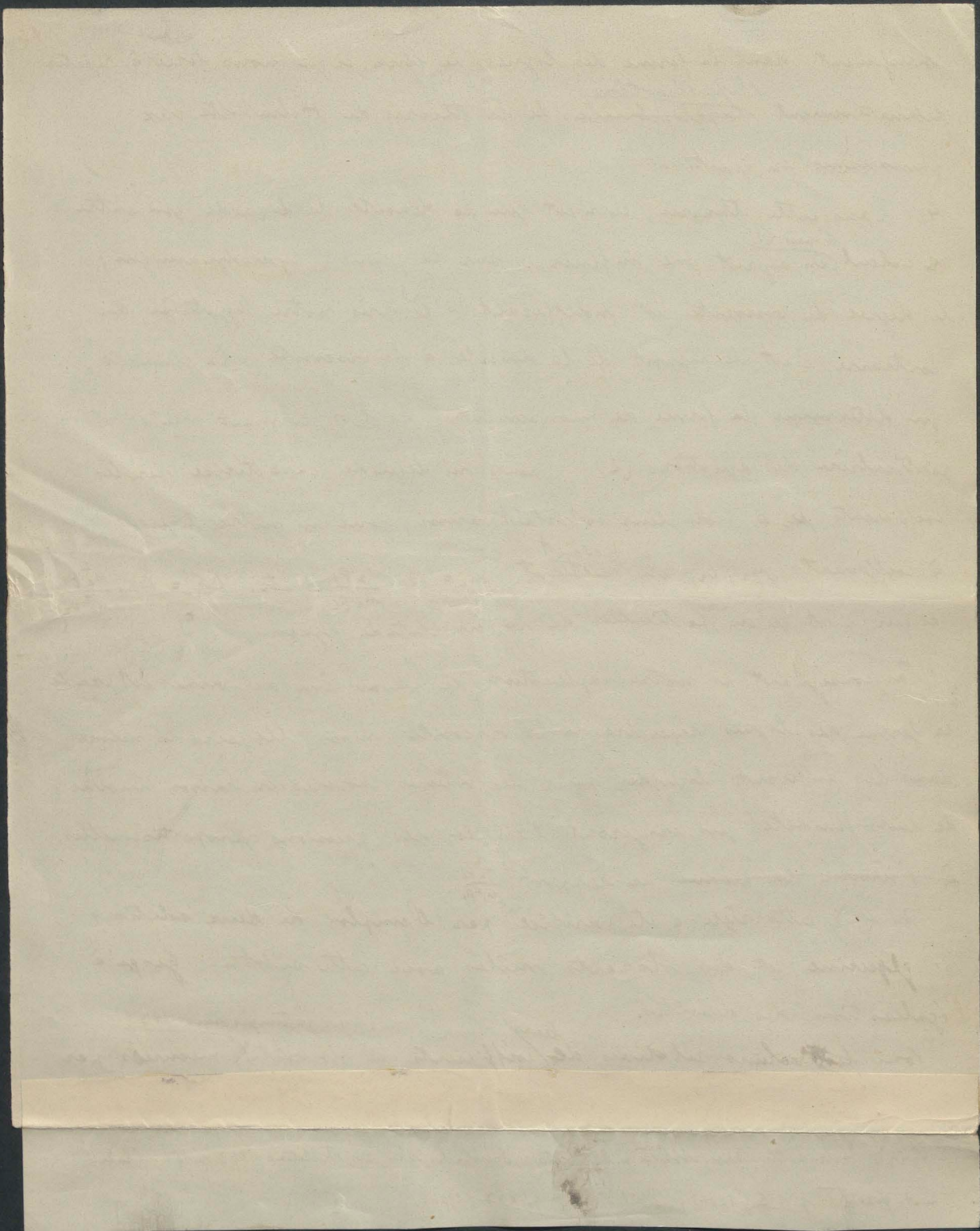
4). Dans cette théorie, ce n'est que la densité du liquide ^{dans la} qui entre en calcul, ^{d'après (1)} en ayant une influence sur la pression hydrodynamique; le degré de viscosité est indifférent. D'après notre hypothèse, au contraire, c'est le rapport de la densité à la viscosité, la "fluidité", qui détermine la forme du mouvement. Si l'on connaît une solution particulière des équations (2) pour un liquide caractérisé par les coefficients μ_1, ρ_1 , on leur satisfait aussi, pour un autre liquide, à coefficients μ_2, ρ_2 , en ^{posant} ~~mettant~~ $u_2 = u_1 \frac{\mu_2 \rho_1}{\mu_1 \rho_2}$ etc., $\Delta p_2 = \Delta p_1 \frac{\mu_2^2 \rho_1}{\mu_1^2 \rho_2}$ ce qui n'est qu'un ^{cas} particulier de la similitude dynamique. *)

Par conséquent, si notre explication du phénomène des veines est exacte, la forme des lignes dépendra de la viscosité, mais elle sera la même dans les différents liquides, pour des vitesses choisies en raison inverse de leur fluidité, qui exigeront l'emploi des pressions proportionnelles à ~~l'inverse du produit au rapport~~ $\frac{\mu_2^2 \rho_1}{\mu_1^2 \rho_2}$.

En effet, cette règle a été vérifiée par l'emploi de deux solutions de glycérine, et des colorants mêlés avec cette substance jusqu'à l'égalisation des densités.

Voici ~~les~~ ^{leurs} valeurs relatives des coefficients de viscosité, mesurés par ^(pour la température 19.5°) ~~les coefficients de similitude de~~ $\frac{\mu_2 \rho_1}{\mu_1 \rho_2}$

*) Voir: Helmholtz, Wiss. Abh. I p. 891, 158; Smoluchowski, ces Bulletins 1903 p. 151; Orce mot. fiz. XV p. 115 (1904); Phil. Mag. 7 p. 667 (1904).



la méthode ordinaire de Poiseuille et des coefficients de similitude

~~Glycerine~~ $\alpha = \frac{\mu_2 \rho_1}{\mu_1 \rho_2}$, par rapport à l'eau employée, qui en résultent :

Glycerine I; densité 1.094; viscosité relative 3.38; $\alpha = 2.895$

Glycerine II; densité 1.116; viscosité relative 5.02; $\alpha = 4.20$

Les densités des deux solutions correspondent aux ~~mélange de~~
degrés de concentration: 37.5% et 45.8%.

Ces expériences s'accorderaient si bien qu'on pourrait superposer les
systèmes des courbes obtenues avec vitesses correspondantes. ^[d'après (4)] Ainsi
la fig. 3 était obtenue dans l'eau avec la vitesse $0.90 \frac{\text{cm}}{\text{sec}}$
dans Glycerine I avec la vitesse $2.58 \frac{\text{cm}}{\text{sec}}$, d'où résulte le rapport des vitesses 2.87
en accord parfait avec le ~~nombre~~ ^{coefficient} de similitude 2.895. D'autre part,
la vitesse $0.90 \frac{\text{cm}}{\text{sec}}$ ou plutôt, en égard à la différence de densité: $0.86 \frac{\text{cm}}{\text{sec}}$
qui d'après la théorie de Helmholtz (dans ~~la~~ ^{la} Glycerine I correspondrait)
à la ~~figure~~ ^{vitesse} 0.90 dans l'eau, produit une image tout-à-fait différente,
intermédiaire entre les fig. 4 et fig. 5.

De même, par exemple, l'identité de la fig. 4 ^(dans les trois liquides) obtenue avec des vitesses
correspondantes (selon la relation (4)) a été constatée.

En traçant la fig. 6, j'ai tiré profit de cette ^{similitude} ~~similitude~~ dynamique,
en faisant usage de la figure résultant de la vitesse correspondante dans la
glycerine II, puis que l'effet des courants de convection ~~pour~~ se faisait
sentir ~~à~~ dans l'eau ordinaire à un tel degré, pour ce mouvement lent,

18
The first of these is the ...
...

...

...

...

...

...

...

...

...

...

qu'on ne pouvait tracer que les parties antérieures et moyennes des lignes.

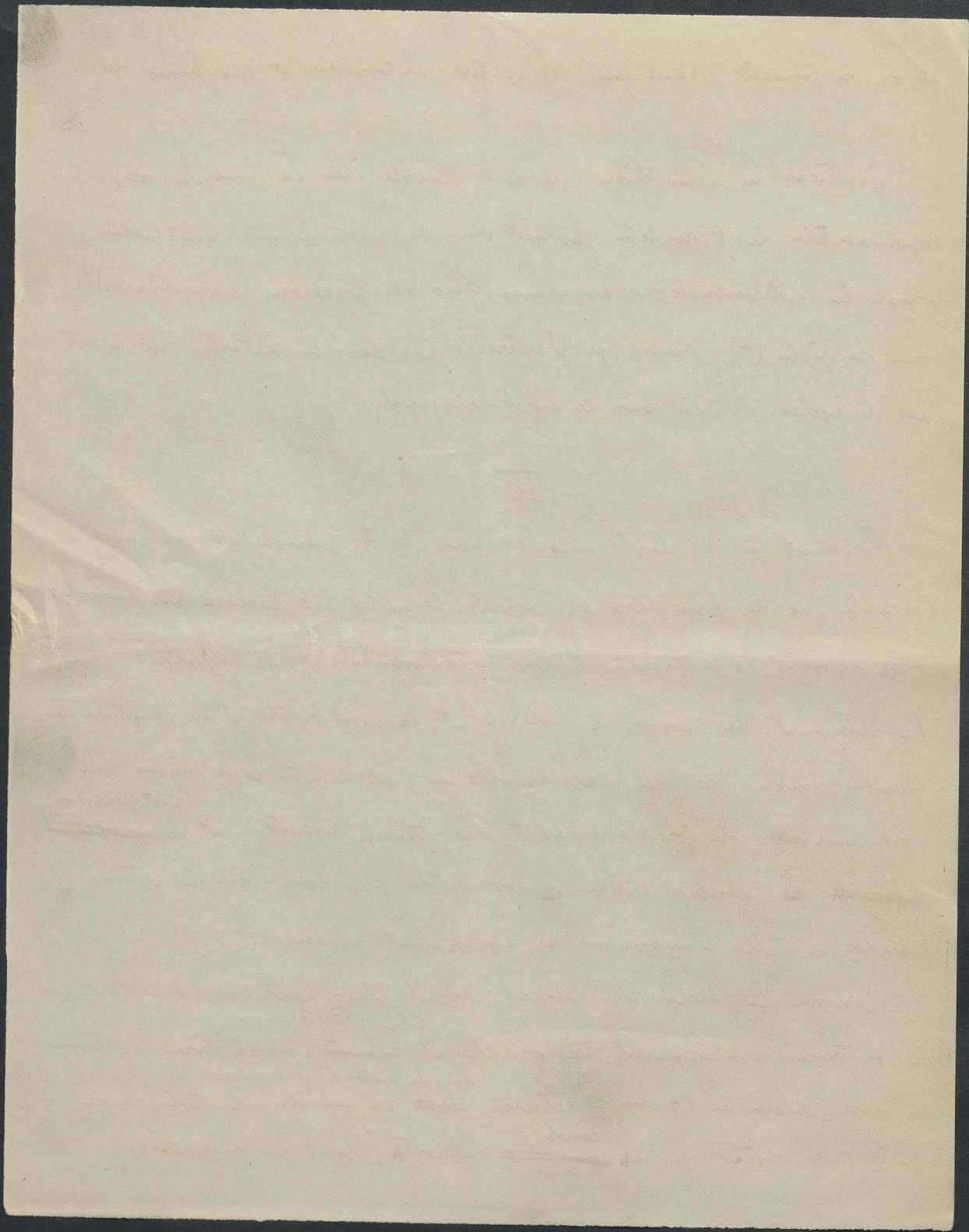
J'ajouterai, ^{entre} en parenthèse, que ceci semble être la première vérification expérimentale de l'identité géométrique des mouvements semblables. Aussi les déterminations approximatives des pressions s'accordaient avec la règle (4), mais je n'entrerai pas dans ces détails, qui n'ont pas de portée directe sur le sujet principal.

IV

Pendant que les faits exposés plus haut prouvent d'une façon évidente que la formation des veines liquides est causée par l'inertie et la viscosité, d'autre part, l'idée fondamentale de Helmholtz :

l'abaissement de pression à l'orifice et la possibilité d'une rupture du liquide, semble être bien raisonnable — c'est de cette façon même que nous expliquons le fonctionnement des trompes aspirantes — ^{c'est pourquoi} et ~~il paraissait~~ ~~raisonnable~~ ^{j'ai} poussée l'étude expérimentale plus loin, vers les vitesses grandes, où ^{se} (telles phénomènes se pourraient produire.

Comme le dispositif délicat, décrit plus haut, ne s'y prêtait pas, je construisis un appareil très simple ^{solide} et ^(Fig. 7) robuste, c'est-à-dire : un tube en verre (diamètre 84 mm), rétréci ~~dans~~ ^{dans la moitié de sa longueur} au milieu de telle façon qu'il n'y restait qu'un ^{canal} ~~espace~~ étroit [dont les dimensions,



déterminées à la fin sur le coupe transversale du tube, aplaniée par ^{le} polissage étaient 0.93 et 100 mm.] qui était muni dans sa partie supérieure d'un petit tube latéral servant à l'introduction du colorant, ou à la communication avec un manomètre.

Fig. 7

D'abord, pour examiner les petites vitesses, ce tube fut mis en communication avec un diaphragme et avec un réservoir d'eau, à niveau plus élevé, causant une petite différence de pression. Les lignes de flux colorées mettaient en évidence les traits caractéristiques ~~de~~ ^{des} veines, à des vitesses ~~de la petite que~~ ^{de la petite de} $6.1 \frac{\text{cm}}{\text{sec}}$ dans le canal (c'est $0.082 \frac{\text{cm}}{\text{sec}}$ dans le tube). Pendant que l'asymétrie était disparue à la vitesse de $2.4 \frac{\text{cm}}{\text{sec}}$, au contraire, avec $8.3 \frac{\text{cm}}{\text{sec}}$, il s'y formait une veine cylindrique, longue de 3 cm., entourée de tourbillons, et sujette à des ~~des~~ petites changements oscillatoires.

En somme, en regard à la lenteur du mouvement et à la petitesse de la courbure des parois, il n'y ~~peut~~ pouvait pas être question des phénomènes de Helmholtz, et pourtant la veine caractéristique se formait.

En suite, ce tube fut attaché immédiatement au conduit d'eau ~~de~~ (pression 3.5 atm.), pendant que l'extrémité inférieure communiquait avec un vaisseau - servant à mesurer la vitesse d'efflux - où la pression pouvait être réduite ^{au} par ~~par~~ moyen d'une trompe aspirante. ~~Avant~~ ^{d'abord} tout, le tube fut rempli d'eau dans toute sa longueur.

[The page contains extremely faint, illegible handwriting, likely bleed-through from the reverse side of the paper. The text is too light to transcribe accurately.]

Et alors, lorsque le robinet fut ouvert, il y apparaissait, en réalité, pour une certaine vitesse, le phénomène ^{attendu;} ~~espéré;~~ la veine d'eau se déchirait, ou bien se détachait du liquide environnant, (en quittant le canal), ce qui était visible par suite de la formation d'une surface réfléchissante à l'intérieur. Mais le phénomène n'était pas du tout permanent, son caractère intermittent s'accusait par un bruit bouddonnant; aussi apercevait-on souvent des interruptions et, en général, une considérable irrégularité du phénomène.

En réglant l'efflux d'eau d'une façon convenable, on pouvait induire ~~la valeur critique~~ ^{approximativement} la vitesse critique, où ce phénomène apparaissait, à $24 \frac{m}{sec}$ dans le canal, tandis que la relation (3) exigeait une vitesse de $144 \frac{m}{sec}$ pour l'abaissement de la pression de 78 cm. à zéro.

Et lorsque la pression extérieure p_e fut réduite à 35.5 cm. par moyen de la trompe, ~~ou~~ le phénomène se produisait dès que la vitesse $14 \frac{m}{sec}$ était atteinte, pour la pression de 25.5 cm. à une vitesse de $12 \frac{m}{sec}$, ce qui correspond aux valeurs théoriques $9.7 \frac{cm}{sec}$ et $8.2 \frac{cm}{sec}$.

En même temps l'aspect du phénomène changeait: avec la pression atmosphérique d'eau - toute claire jusqu'au moment où la vitesse critique est atteinte - devient trouble au delà, ce qui provient du dégagement d'une quantité de toutes petites bulles d'air, mais avec l'emploi des pressions basses il s'y forment des bulles grandes, comme dans de l'eau bouillante.

[The page contains extremely faint, illegible handwriting, likely bleed-through from the reverse side of the paper. The text is too light to transcribe accurately.]

On pourrait ^{s'attendre à trouver} ~~espérer que~~ la vitesse d'afflux ~~est~~ indépendante de la pression ^{en amont} ~~à l'entrée~~ ^{p_1} ~~p_2~~ , pourvu que la vitesse critique soit atteinte, puis qu'à la sortie ^{à la sortie} de l'orifice aurait toujours la même valeur zéro. Mais cette conclusion n'a pas été vérifiée par l'expérience, au contraire, on constatait toujours un accroissement de vitesse _{per} suite ^{de l'} d'augmentation de la pression _{ps}.

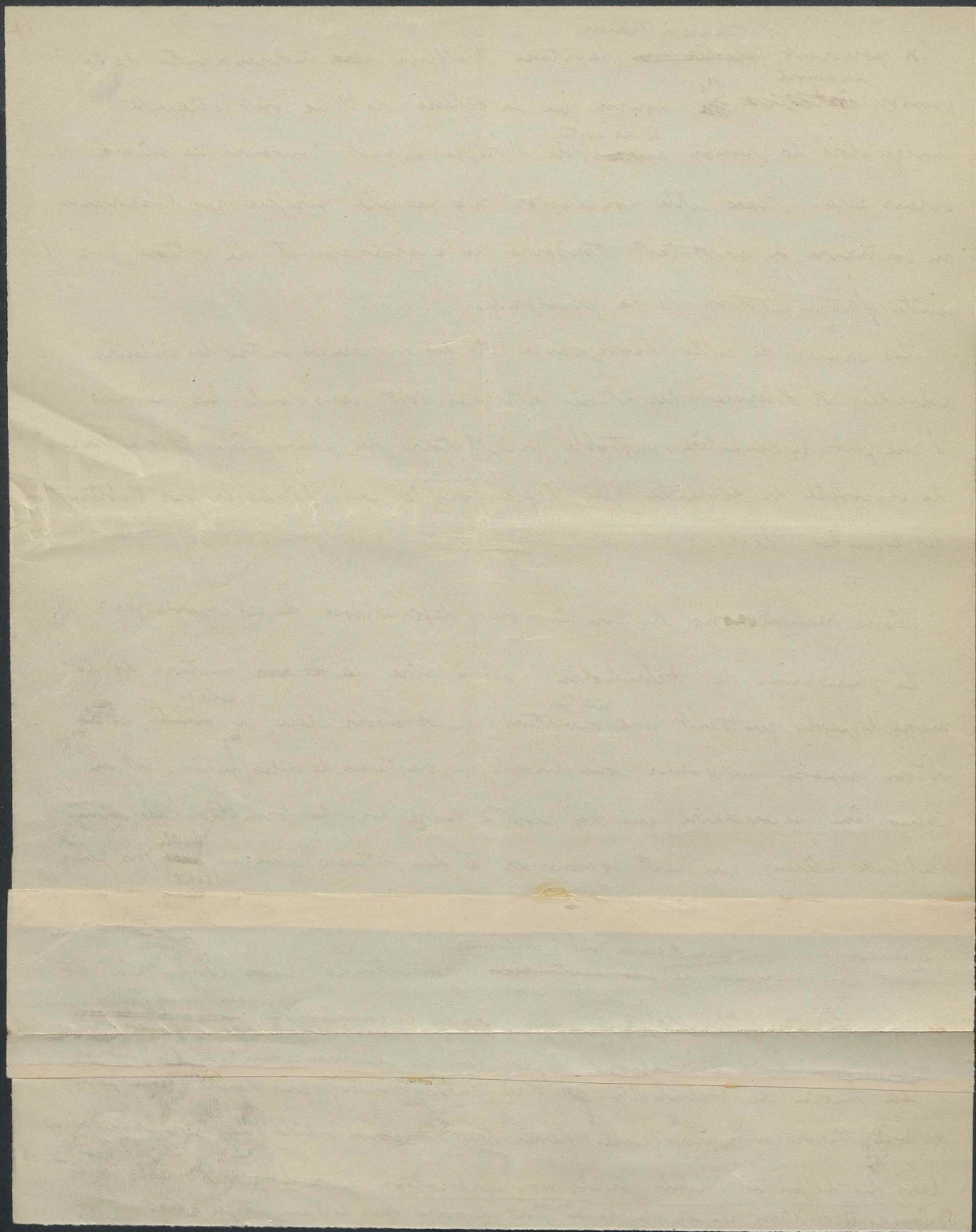
Les causes de cette divergence et des différences entre les valeurs calculées et observées des vitesses critiques sont sans doute les mêmes : d'une part le caractère instable, oscillatoire du phénomène et d'autre part la viscosité du liquide, qui défie tous les calculs basés sur l'abstraction des liquides idéals.

V.

Nous résumons les conclusions descriptives de ces expériences :

Le phénomène de Helmholtz, c'est à dire la ~~deuxième~~ rupture de la masse liquide qui tant une ^{petite} ouverture, peut avoir lieu, ^{réalité} en ^{réalité} ~~réalité~~ si la vitesse dépasse une valeur considérable (une vingtaine de mètres) mais c'est un phénomène secondaire, qui n'a rien à faire avec la formation des veines d'afflux mêmes, qui peut commencer à des vitesses plus que ~~cent~~ ^(cent) fois plus petites.

D'ailleurs ^{seront pas du tout à confirmer} ~~les~~ les expériences ne ~~peuvent~~ ^{peuvent} ~~rien~~ bien entendre, ~~par~~ l'hypothèse des surfaces de discontinuité ^{de vitesse}, qui nous paraît inadmissible ~~à~~ ~~point de~~ ~~vue~~ ~~théorique~~ pour des raisons expliquées au commencement. En général, la théorie de Helmholtz est très intéressante, sans doute, ~~à~~ ~~point~~ de vue théorique, puis qu'elle démontre la possibilité de tels phénomènes dans les liquides idéals, mais son application aux liquides réels n'est ^{encore} sans doute des vitesses beaucoup plus grandes ~~seront nécessaires~~ dans de l'eau purgée d'air.



nullément justifiée, même pour des ^{aussi} ~~telles~~ vitesses ^{que celles que l'on a vues} ^{des} grandes, ce que démontre le fait de l'intermittence ^{*)} du phénomène et le désaccord du calcul des vitesses et de l'observation directe.

Il ~~paraît~~ ^{semble} que c'est un cas analogue ^{à celui de} ~~au~~ mouvement des corps plongés dans un liquide, où ^{l'hypothèse} les calculs basés sur l'idéalité ^{parfaite} des liquides, et ne tenant pas compte ni de la dissipation de l'énergie ni de l'adhésion aux parois, aboutissent à des conclusions tout-à-fait incorrectes.

En outre, il faut remarquer que les solutions spéciales, trouvées jusqu'ici d'après cette méthode, exigent toutes des valeurs définies de la vitesse d'efflux pour une pression p_2 donnée, et ne répondent pas à la question ^{Je savais ce qui} ~~est-ce qu'il y a~~ ^{arrivé}, si cette vitesse change par suite d'un changement de la pression p_1 (en amont de l'orifice).

Quant à la formation des veines d'efflux, les expériences ont prouvé ^{parfaitement} que les lois de la similitude dynamique s'y appliquent (ce qui est un argument important en faveur de notre explication, qui réduit ce phénomène aux lois ordinaires des liquides visqueux, ~~et~~ notamment aux effets d'inertie ^(à mesure de la rapidité du mouvement) s'accroissant ^{par rapport aux} ~~en raison de~~ la viscosité du liquide.

Cette similitude de dynamique donne le moyen de prédire la forme des lignes de flux ^{du mouvement} d'après les fig. 3, 4, 5, 6, pour des liquides à densité et viscosité quelconque; de même il est facile d'en déduire l'influence

des dimensions de l'orifice, à savoir: les vitesses correspondantes seront ^{*)} En connexion, sans doute, avec les "mouvements turbulents" et la formation du son dans les tuyaux.

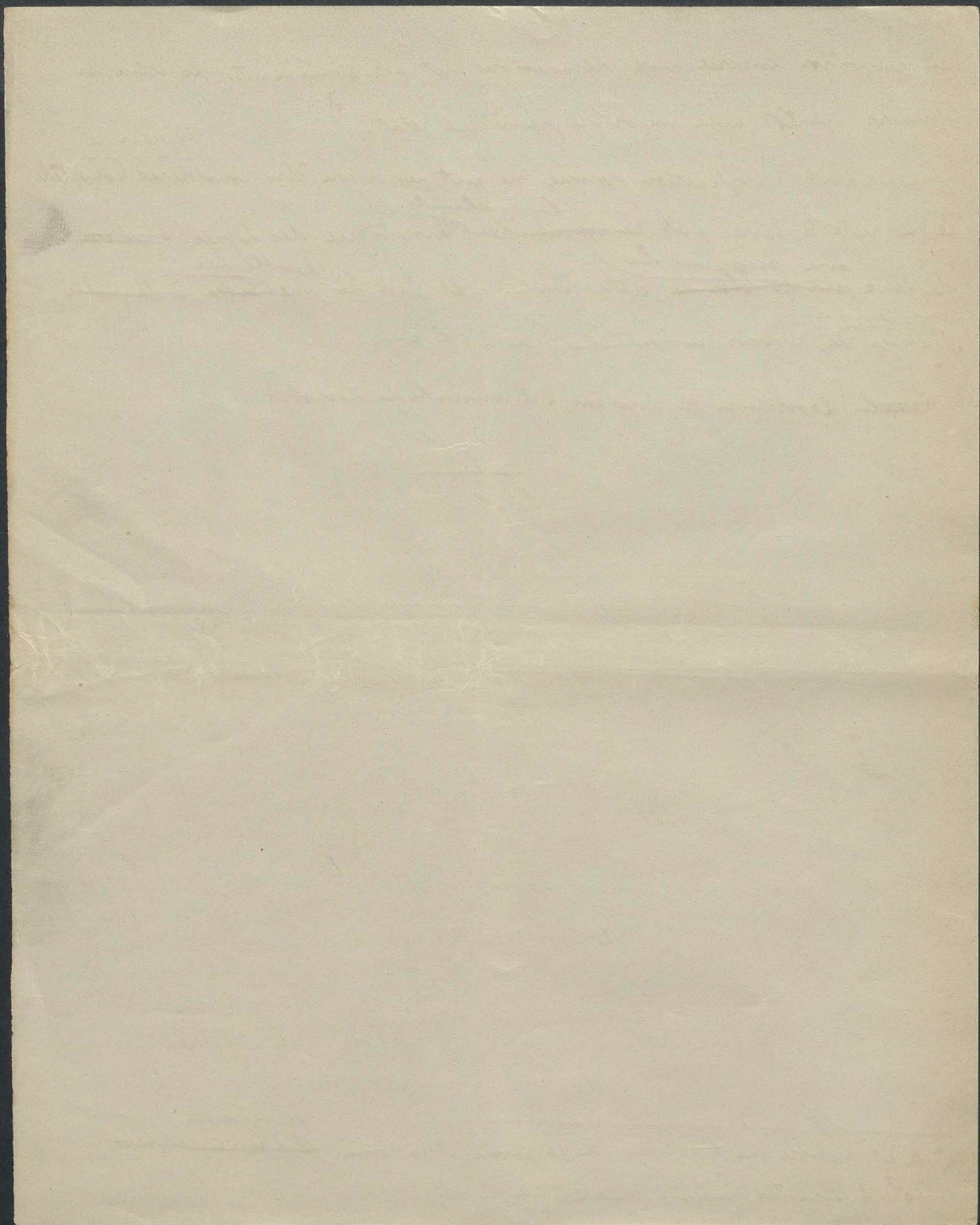
[The page contains extremely faint, illegible handwriting, likely bleed-through from the reverse side of the paper. The text is too light to transcribe accurately.]

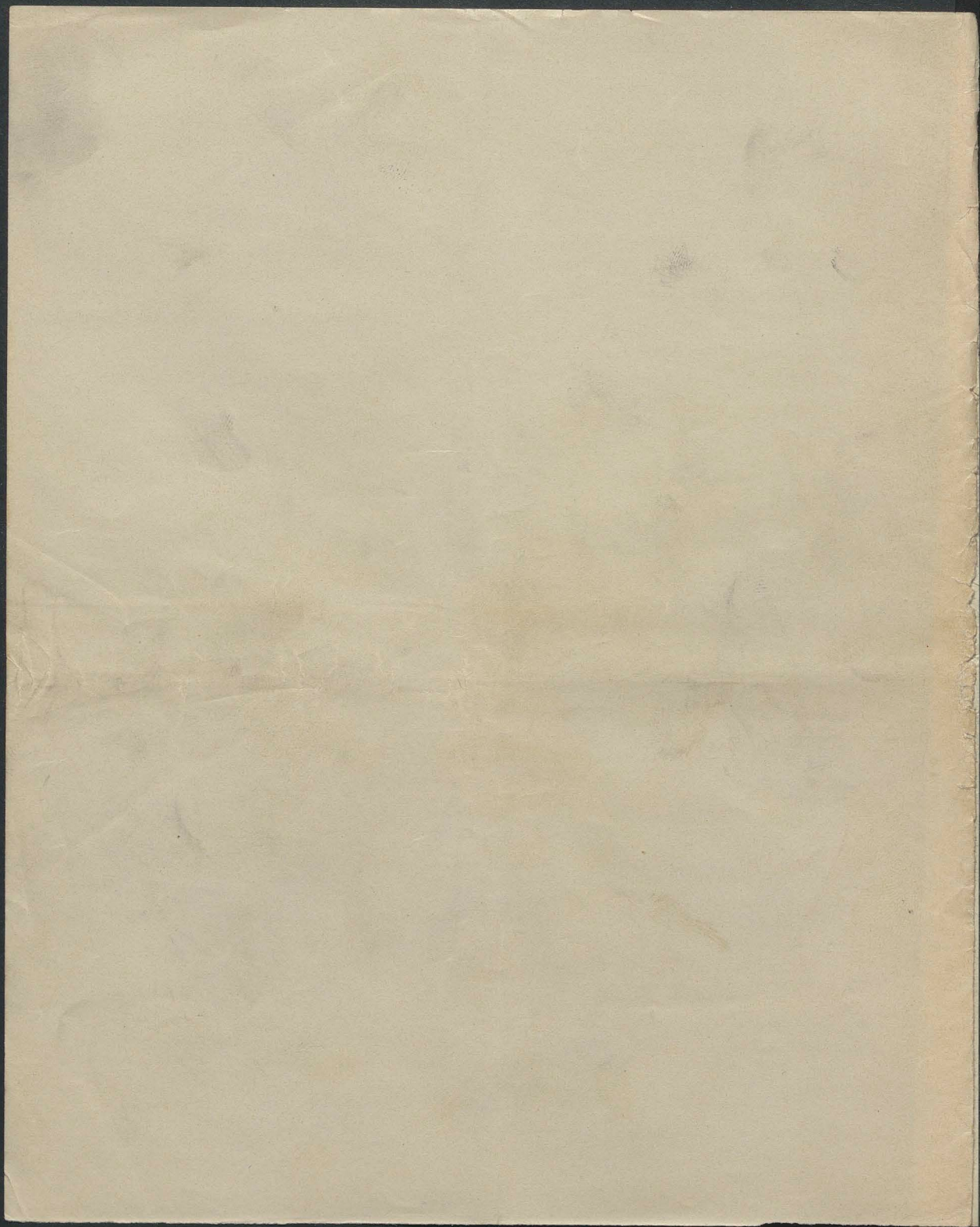
en proportion inverse aux dimensions et par conséquent, la veine se formera plutôt avec un orifice grand que petit. *)

Cependant, l'explication donnée ne peut pas encore être ^{considérée} complète. Ce qui reste à faire, c'est ~~la~~ ^{le calcul} ~~calcul~~ théorique des lignes ~~d'afflux~~ de flux ^{au moyen de} ~~sur la base de~~ cette théorie, et c'est là ^{un problème} ~~une tâche~~, à laquelle ^{je suis sûr de revenir en future} ~~je suis sûr de revenir en future~~ dans l'avenir.

~~Léopol.~~ [Laboratoire de physique à l'université de Léopol.]

*) C'est probable que l'épaisseur de la paroi et la forme ^{du vaisseau} ~~de l'espace intérieur~~ sont indifférentes, jusqu'à une certaine limite.





discontinuité, où la pression est zéro, produit ce que nous appelons veine d'efflux, en séparant les parties centrales, animées d'un mouvement rapide, de l'eau dormante, à l'extérieur.

Cette théorie, en donnant lieu, dans le cas de deux dimensions, à l'emploi élégant des fonctions de variables complexes, a été le point de départ d'une quantité de recherches¹⁾ sur des formes spéciales des veines, qui forment un domaine considérable de l'hydrodynamique classique, très intéressant, sans doute, au point de vue mathématique.

Mais il semble qu'on n'a jamais essayé de vérifier les hypothèses, sur lesquelles elle repose d'une façon expérimentale.

Et il faut remarquer que cette théorie n'a pas été acceptée dans contradiction: c'est surtout Lord Kelvin²⁾ qui s'oppose à l'hypothèse des surfaces de discontinuité.

En effet, la supposition d'une telle surface, où deux parties du liquide à vitesses différentes et permanentes sont en contact, quoique justifiée dans le cas des liquides idéals, est inadmissible pour les liquides réels dotés d'une certaine viscosité, puisque la friction nivellerait cette différence des vitesses dans un moment³⁾. On ne peut que la regarder comme une fiction mathématique, dont l'usage peut être avantageux quelquefois, mais pour laquelle on prouve que les conséquences ne sont pas de nature fictive aussi.

Nous examinerons pas maintenant si un tel mouvement, pour lequel il soit possible, serait stable puisque nous serons conduits à élucider cette question par l'expérience à la fin de ce travail; mais il faut insister au contraire sur ce fait que l'hypothèse du liquide parfait s'écarte de la réalité surtout dans ce qui est le plus important pour cette théorie, en admettant un glissement parfait, le long des parois du vaisseau et de l'orifice, tandis que les liquides réels y forment une couche adhérente immobile et par conséquent, ne causent pas prétendu abaissement infini de la pression aux arrêtes pointues.

D'autre part, comme je l'ai exposé dans un autre travail⁴⁾, les équations ordinaires des fluides sont suffisantes — bien entendu si

¹⁾ Kichhoff Crelle J. 70 (1869), Abhdlg. p. 416; Rayleigh Phil. Mag. (1875) p. 430; Michell Phil. Trans 1890; Réthy Beibl. 1895 p. 619 etc.

²⁾ Nature 50 p. 524—597 (1894).

³⁾ Voir p. ex. Lamb Hydrodynamics p. 541.

⁴⁾ Ces Bulletins 1903 p. 149.

$\int e$
 $\int u$ $\int a$
 $\int a$
 $\int C$ $\int s$
 $\int u$ $\int s$
 $\int e$ $\int e$
 $\int e$ $\int u$
 $\int n$ $\int i$
 Hvu
 $\int n^2$ $\int l$ Hvu
 $\int e$ $\int s$ $\int s$
 $\int n$ $\int a$
 $\int u$ $\int n$
 $\int s$ $\int u$
 $\int u$ $\int e$
 $\int u$ $\int u$
 $\int n$
 $\int o$ $\int e$ $\int Phil. Mag.$
 $\int 7$
 $\int m$ $\int c$

l'on tnt compte de la viscosité — pour prouver la nécessité du phénomène caractéristique ~~par~~ question: de l'asymétrie des lignes de flux, par rapport à la surface de séparation.

Lorsque le mouvement est assez lent pour permettre l'omission des termes du second degré par rapport aux vitesses, les équations du mouvement

$$\rho \left[\frac{\partial u}{\partial t} + u \frac{\partial u}{\partial x} + v \frac{\partial u}{\partial y} + w \frac{\partial u}{\partial z} \right] = - \frac{\partial p}{\partial x} + \mu \left[\frac{\partial^2 u}{\partial x^2} + \frac{\partial^2 u}{\partial y^2} + \frac{\partial^2 u}{\partial z^2} \right] \text{ etc.} \quad (2)$$

ne sont pas changées par la substitution de $-u, -v, -w, a-p$, au lieu de u, v, w, p ; c'est-à-dire les lignes de flux ne changent pas de forme (seulement de direction) par suite d'une inversion des différences de pression, et par conséquent, elles doivent être symétriques des deux cotés de l'orifice, pourvu que les parois soient symétriques.

Mais à mesure de l'accroissement des vitesses les termes d'inertie gagnent en importance, la substitution mentionnée cesse d'être applicable, et le mouvement devient asymétrique.

Il est facile de reconnaître, en considérant l'effet de ces deux facteurs, que le résultat sera justement une tendance au changement du mouvement dans le sens indiqué par le phénomène des veines.

Le but de l'étude expérimentale exposée dans ce travail est de trancher la question de savoir si c'est l'effet de l'inertie et de la viscosité, comme nous le supposons, ou bien si c'est la formation des surfaces de discontinuité, conformément aux veines Helmholtz, qui produit le phénomène des veines d'efflux.

II.

Les expériences étaient basées sur la méthode bien connue ¹⁾ qui consiste à faire entrer une matière colorante dans un certain point du liquide en mouvement, ce qui permet d'observer la ligne de flux qui y passe, et de la copier.

Je choisis comme l'exemple le plus simple et le mieux défini: l'efflux par une ouverture dans une parois mince. Cette parois était

¹⁾ Oberbeck, Wied. Ann. 2 p. 1 (1877); Reynolds, Phil. Trans. 1883; Marey Journ. Phys. 1 p. 192 (1902) et autres expérimentateurs.

ie
Hen la/e/e

la/x/n
/s/es

e/n
/r

/u /s

H l'acc
/e

la /u

/h Hvo
Hs /u /s
/o H à l'opinion de

/f
/

représentée par une feuille de cuivre dur (épaisseur 0.095 mm) séparant les deux parties d'un tube en verre (diamètre 45 mm) dont les bases, planes et polies, y étaient attachées avec un peu de cire à cacheter. L'ouverture, au centre de la feuille, qui était traversée par le courant du liquide, avait une forme circulaire (diamètre 2.45 mm); ses bords étaient arrondis.

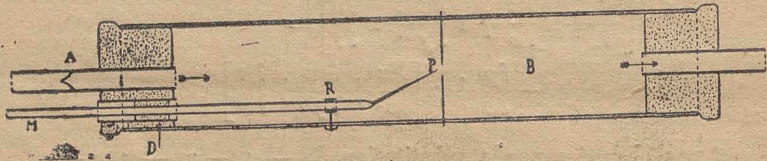


Fig. 1.

Les extrémités opposées des tubes étaient fermées par des bouchons, avec des tuyaux d'entrée et de décharge, dont l'un était construit d'une façon spéciale A, avec une pointe à l'intérieur percée d'un tout petit trou, ce qui avait pour but de réduire les vitesses aux valeurs très petites exigées, comme nous verrons plus loin, dans ces expériences.

On produisait les vitesses désirées en élevant le réservoir à l'hauteur convenable au-dessus du tuyau de décharge. Leurs valeurs résultaient du nombre des gouttes qui s'y écoulèrent, et de leur poids moyen, obtenu par une détermination spéciale.

L'introduction de la matière colorante se faisait au moyen du tube M, terminé par un allongement capillaire extrêmement mince et guidé par l'anneau R et par la boîte hermétique D, de telle façon que le point P d'où sortait la matière colorante, pouvait être approché plus ou moins à la paroi de séparation, en adoptant, en outre, une distance latérale quelconque, par suite d'un mouvement rotatoire du tube M. Le liquide colorant sortait, en quantités très petites, pour éviter l'influence sur les lignes de flux, par suite de la pression exercée par un petit réservoir situé plus haut. C'était de l'encre bleue ordinaire mais filtrée avec soin dont je faisais usage pour ces expériences; sa densité était mesurée [à 1.00085 par rapport à l'eau de température égale (17°)] et celle de l'eau employée y était égalisée par l'addition d'une petite quantité (0.12%) de sel.

La situation de l'appareil était telle que le point P et le milieu de l'ouverture se trouvaient au même niveau; par conséquent la ligne de flux colorée, s'étendant de P dans le vaisseau B était

1u
1a 1a
1u
1u
1è 1d

1u
1a 1u

qui contenait le liquide,
1u 1u
1e Hécou
1è
1i

H 1è

1d

1u 1è 1è
1u 1è 1è
1è 1è

1u
1è 1u 1è

contenue dans un plan horizontal, et dans la même position se trouvait son image produit sur la table, au moyen d'un miroir incliné, réfléchissant des rayons incidents perpendiculaires sur un prisme à réflexion totale.

On avait choisi cette disposition, puisqu'alors les courants verticaux de convection produisent les moindres perturbations qui, en plus, peuvent être contrôlées toujours, en observant si la ligne de flux est bien horizontale. Ces courants engendrés par des variations de la température environnante causent bien d'ennui, lorsque la vitesse horizontale du liquide est petite. Pour diminuer leurs effets il fallut envelopper l'appareil d'un large tube en verre, rempli chaque fois avec le même liquide que le vaisseau intérieur. Ces difficultés disparaissent d'ailleurs, pour la plupart, avec l'emploi des liquides plus visqueux, d'autant plus qu'il y faut employer caeteris paribus, comme nous verrons plus loin, des vitesses plus grandes.

Outre ces précautions il fallait prendre garde à la purification extrême des liquides employés et de l'appareil lui-même, puisque la moindre particule de poussière suffisait à engorger la capillaire *P* ou l'ouverture *A*, et dans les expériences à pression diminuée, au contact hermétique de toutes les parties de l'appareil

/e /s
/e
/a
/e
/a
/u
/u
/e
/u H₂
/e
/u
/e

III.

Voici le résumé des résultats de nos expériences:

1) On observe la formation distincte des veines d'efflux, c'est-à-dire une diminution dans la divergence des lignes d'efflux, avec des vitesses très petites ($0.5 \frac{\text{cm}}{\text{sec}}$ vitesse moyenne dans l'ouverture pour l'eau). De plus, la vitesse ¹⁾ paraissait maxima dans l'axe de la veine et diminuait vers les parois, tandis que d'après Helmholtz l'inverse aurait dû se passer, avec une valeur critique de la vitesse, nécessaire à surmonter la pression atmosphérique et à former la veine, de $14 \frac{\text{m}}{\text{sec}}$.

/e'
Hec
/e Hanc
/u
/r
/u

2) Les calculs de Helmholtz et de ses successeurs ne s'appliquent qu'au cas le plus simple: des parois infiniment minces et des arrêtes

/u /a

¹⁾ Qui peut être jugée d'après la ténuité du filament coloré, ou directement, en observant le mouvement d'un train d'agglomérations colorées produites par des secousses périodiques.

absolument pointues. En réalité on devrait s'attendre, eu égard à la courbure finie des bords de l'orifice, à trouver une vitesse critique, séparant le cas où l'efflux est normal et analogue au flux d'électricité, et celui où la rupture du liquide et la formation de la veine a lieu.

Les expériences n'en ont indiqué rien, au contraire, le changement de la forme des lignes d'efflux avec vitesse croissante était tout à fait continu. C'est ce qui résulte de la figure 2, où la ligne de flux, sortant d'un point lateral P est tracée pour quelques valeurs de la vitesse:

1) 0.90; 2) 0.80; 3) 0.71; 4) 0.55; 5) 0.43; 6) 0.24 $\frac{\text{cm}}{\text{sec}}$;

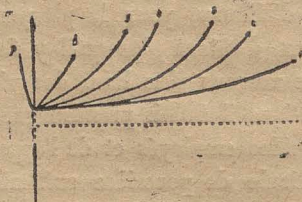


Fig. 2.

L'influence de la vitesse sur la partie située en aval de l'ouverture est évidente, tandis que les changements de la partie en amont étaient si petites que le dessin ne les accuse pas. En concordance avec nos remarques sur l'importance relative de l'inertie et de la viscosité, l'asymétrie ressort à mesure de l'accroissement de la vitesse, tandis que la courbe obtenue avec la moindre vitesse est presque symétrique.

Cette disparition de la symétrie et cette concentration graduelle des lignes d'efflux dans la veine ressort d'une façon plus nette encore dans les fig. 3, 4, 5, 6, correspondants aux vitesses 0.90, 0.45, 0.23, 0.14 $\frac{\text{cm}}{\text{sec}}$.

Elles sont le résultat d'une série de dessins, obtenus par superposition des différentes lignes produites par une vitesse donnée.

Un détail remarquable c'est la formation des tourbillons annulaires, entourant la veine centrale — développée très nettement surtout dans la fig. 3 — qu'on pouvait observer par inversion du courant, ainsi que le point P se trouvait du côté de la veine d'efflux.

Elle donne le moyen de définir ce qu'on peut appeler surface

de la veine, c'est à dire: la surface qui, en prenant origine aux bords de l'ouverture sépare les lignes de flux provenant de l'espace en amont et les lignes closes tourbillonnaires de l'espace en aval. Donc, il est évident aussi, que le liquide environnant participe au

/s
/e
/c

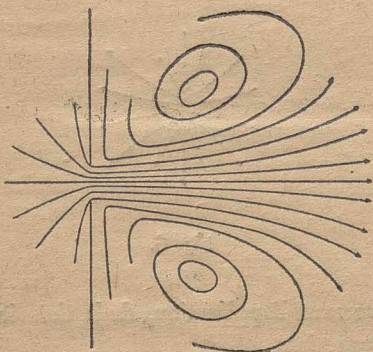


Fig. 3.

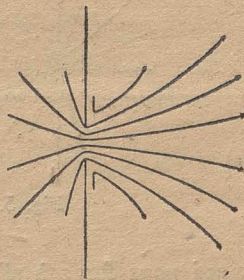


Fig. 4.

mouvement de la veine, quoique dans un degré inférieur, et rien n'indique l'existence d'une discontinuité de vitesse.

Ces tourbillons s'évanouissent rapidement avec diminution de vitesse; la fig. 5 indique encore la convergence caractéristique des lignes de flux latérales en aval de l'ouverture, mais dans le cas représenté par la fig. 6, où il n'y a plus qu'une trace d'asymétrie, rien n'en pouvait être découvert; sans doute les courbes tendent vers une forme tout à fait symétrique pour la limite zéro de vitesse.

3) Puisque, d'après Helmholtz, la naissance de la discontinuité dépend de la condition, que la pression aux bords de l'orifice s'abaisse à zéro, il en résulte que la vitesse critique devrait satisfaire à la relation

$$v = \sqrt{\frac{2p_2}{\rho}}, \quad (3)$$

où p_2 désigne la pression dans l'espace extérieur B , et par conséquent, que les phénomènes en question se produisent à des vitesses d'autant plus petites que la pression extérieure p_2 est plus petite.

Pour examiner l'exactitude de cette conclusion, je communiquai le réservoir primaire du liquide, tuyau de décharge, et le petit réservoir de matière colorante avec un vaisseau, d'où l'air pouvait être extrait au moyen d'une trompe spirante. De cette manière la

/u */i* */s*
/u */s*
[d'
/i
/v
/c
/u *[faisais*
/u */u*
/a

M.

la valeur absolue de la pression pouvait être diminuée à volonté, sans changement des différences relatives¹⁾.

Or, des expériences répétées dans des circonstances diverses, avec abaissement de la pression p_2 de 75 cm à 7 cm de mercure, n'ont indiqué aucun changement dans la forme des lignes de flux,

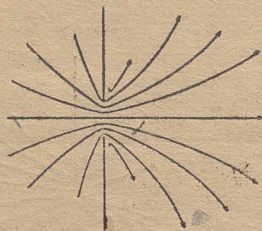


Fig. 5.

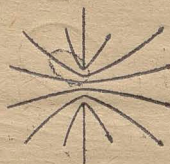


Fig. 6.

ce qui nous force à rejeter définitivement l'application de la théorie de Helmholtz aux phénomènes en question.

4) Dans cette théorie, ce n'est la densité du liquide qui entre dans le calcul d'après (1), en ayant une influence sur la pression hydrodynamique; le degré de viscosité est indifférent. D'après notre hypothèse, au contraire, c'est le rapport de la densité à la viscosité, la „fluidité“, qui détermine la forme du mouvement. Si l'on connaît une solution particulière des équations (2) pour un liquide caractérisé par les coefficients μ_1, ρ_1 , on leur satisfait aussi, pour un autre liquide, à coefficients μ_2, ρ_2 , en posant

$$(4) \quad \mu_2 = \mu_1 \frac{\mu_2 \rho_1}{\mu_1 \rho_2} \text{ etc., } \Delta p_2 = \Delta p_1 \frac{\mu_2^2 \rho_1}{\mu_1^2 \rho_2}$$

ce qui n'est qu'un cas particulier de la similitude dynamique²⁾.

Par conséquent, si notre explication du phénomène des veines est exacte, la forme des lignes dépendra de la viscosité, mais elle sera la même dans les différents liquides, pour des vitesses choisies en raison inverse de leur fluidité, qui exigeront l'emploi des pressions proportionnelles au rapport $\frac{\mu_2^2 \rho_1}{\mu_1^2 \rho_2}$.

¹⁾ Il est avantageux pour éviter la formation de bulles d'air, d'y employer de l'eau exempte d'air, par ébullition.

²⁾ Voir: Helmholtz, Wiss. Abh. I p. 158, 891; Smoluchowski, ces Bulletins 1903 p. 151; Prace mat. fiz. XV p. 115 (1904); Phil. Mag. 7 p. 666 (1904).

En effet, cette règle a été vérifiée par l'emploi de deux solutions de glycérine, et des colorants mêlés avec cette substance jusqu'à l'égalisation des densités.

Voici les valeurs relatives de leurs coefficients de viscosité (pour la température 19.5°), mesurées par la méthode de Poiseuille et des coefficients de similitude $\alpha = \frac{\mu_2 \rho_1}{\mu_1 \rho_2}$, par rapport à l'eau employée qui en résultent:

Glycérine I ; densité 1.094; viscosité relative 3.38; $\alpha = 2.895$

Glycérine II; densité 1.116; viscosité relative 5.02; $\alpha = 4.20$

Les densités des deux solutions correspondent aux degrés de concentration: 37.5% et 45.8%.

Les expériences s'accordaient si bien qu'on pouvait superposer les systèmes des courbes obtenus avec vitesses correspondantes [d'après (4)]. Ainsi la fig. 3 était obtenue dans l'eau avec la vitesse

0.90 $\frac{\text{cm}}{\text{sec}}$ qui d'après la théorie de Helmholtz correspondrait dans

la Glycérine I à la vitesse 0.90 dans l'eau, produit une image tout-à-fait différente, intermédiaire entre les fig. 4 et fig. 5.

De même, par exemple, l'identité de la fig. 4 obtenue dans les trois liquides avec des vitesses correspondantes (selon la relation (4)) a été constatée.

En traçant la fig. 6, j'ai tiré profit de cette similitude dynamique, en faisant usage de la figure résultant de la vitesse correspondante dans la glycérine II, puisque l'effet des courants de convection se faisait sentir dans l'eau ordinaire à un tel degré, pour ce mouvement lent, qu'on ne pouvait tracer que les parties antérieures et moyennes des lignes.

J'ajouterais, entre parenthèses, que ceci semble être la première vérification expérimentale de l'identité géométrique des mouvements semblables. Aussi les déterminations approximatives des pressions s'accordaient avec la règle (4), mais je n'entrerai pas dans ces détails, qui n'ont pas de portée directe sur le sujet principal.

IV.

Pendant que les faits exposés plus haut prouvent d'une façon évidente que la formation des veines liquides est causée par l'inertie et la viscosité, d'autre part, l'idée fondamentale de Helmholtz: l'abaissement de pression à l'orifice et la possibilité d'une rupture

, dans Glycérine I avec la vitesse 2.58 $\frac{\text{cm}}{\text{sec}}$, d'où résulte le rapport des vitesses 2.87, en accord parfait avec le coefficient de similitude 2.895. D'autre part, la vitesse 0.90 $\frac{\text{cm}}{\text{sec}}$ ou plutôt, en regard à la différence de densité: 0.86 $\frac{\text{cm}}{\text{sec}}$,

1/s 1/S
 /e H ve /c /u /s
 /e /e /s
 /C /a /e
 /e
 /e
 /n /j
 /y /u /r
 /n /r
 /a /u /a /s
 /a
 /i - /u /i

du liquide, semble être bien raisonnable — c'est de cette façon même que nous expliquons le fonctionnement des trompes aspirantes — et c'est pourquoi j'ai poussé l'étude expérimentale plus loin, vers les vitesses grandes, où de telles phénomènes se pourraient produire.

Comme le dispositif délicat, décrit plus haut, ne s'y prêtait pas, je construisis un appareil très simple et solide (Fig. 7), c'est-à-dire: un tube en verre (diamètre 8.4 mm) rétréci dans la moitié de sa longueur ~~en milieu~~ de telle façon qu'il n'y restait qu'un canal étroit [dont les dimensions, déterminées à la fin sur la coupe transversale du tube, aplanie par le polissage/ étaient 0.93 et 1.00 mm] qui était muni dans sa partie supérieure d'un petit tube latéral servant à l'introduction du colorant, ou à la communication avec un manomètre.

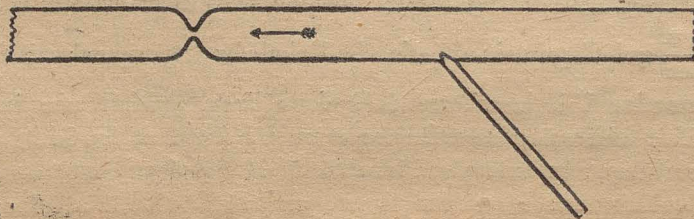


Fig. 7.

D'abord, pour examiner les petites vitesses, ce tube fut mis en communication avec un diaphragme et avec un réservoir d'eau, à niveau plus élevé, causant une petite différence de pression. Les lignes de flux colorées ~~montraient~~ mettaient en évidence les traits caractéristiques des veines, à des vitesses de la petitesse de $6.1 \frac{\text{cm}}{\text{sec}}$ dans le canal (c'est $0.082 \frac{\text{cm}}{\text{sec}}$ dans le tube). Pendant que l'asymétrie était

disparue à la vitesse de $2.4 \frac{\text{cm}}{\text{sec}}$, avec $8.3 \frac{\text{cm}}{\text{sec}}$ il s'y formait une veine cylindrique, longue de 3 cm, entourée de tourbillons, et sujette à de petits changements oscillatoires.

Évidemment, en égard à la lenteur du mouvement et à la petitesse de la courbure des parois, il n'y pouvait pas être question des phénomènes de Helmholtz, et pourtant la veine caractéristique se formait.

/a

/r

/e

/u H r /t

/a s

/u

/e

/f H me

/r

/u
veine

/É /u

En suite, ce tube fut attaché immédiatement au conduit d'eau (pression 3.5 atm.), pendant que l'extrémité inférieure communiquait avec un vaisseau — servant à mesurer la vitesse d'efflux — où la pression pouvait être réduite au moyen d'une trompe aspirante.

Tout d'abord, le tube fut rempli d'eau dans toute sa longueur.

Et alors, lorsque le robinet fut ouvert, il y apparaissait, en réplité, pour une certaine vitesse, le phénomène attendu: la veine d'eau en quittant le canal, se déchirait, ou bien se détachait du liquide environnant, ce qui était visible par suite de la formation d'une surface réfléchissante à l'intérieur. Mais le phénomène n'était pas du tout permanent, son caractère intermittent s'accusait par un bruit bourdonnant; aussi apercevait-on souvent des interruptions et, en général, une considérable irrégularité du phénomène.

En réglant l'efflux d'eau d'une façon convenable, on pouvait évaluer approximativement la vitesse critique, où ce phénomène apparaissait, à $24 \frac{m}{sec}$ dans le canal, tandis que la relation (3) exigerait une vitesse de $14.4 \frac{m}{sec}$ pour l'abaissement de la pression de 78 cm. à zéro.

Et lorsque la pression extérieure p_2 fut réduite à 35.5 cm, par moyen de la trompe, le phénomène se produisait dès que la vitesse $14 \frac{m}{sec}$ était atteinte, pour la pression de 25.5 cm à une vitesse de $12 \frac{m}{sec}$, ce qui correspond aux valeurs théoriques $9.7 \frac{cm}{sec}$ et $8.2 \frac{cm}{sec}$.

En même temps l'aspect du phénomène changeait: avec la pression atmosphérique d'eau — toute claire jusqu'au moment où la vitesse critique est atteinte — devient trouble au delà, ce qui provient du dégagement d'une quantité de toutes petites bulles d'air, mais avec l'emploi des pressions basses il s'y forment des bulles grandes, comme dans de l'eau bouillante.

On pourrait s'attendre à trouver la vitesse d'efflux indépendante de la pression en amont p_1 , pourvu que la vitesse critique soit atteinte, puisqu'alors la pression à la sortie de l'orifice aurait toujours la même valeur zéro. Mais cette conclusion n'a pas été véri-

1/a
1/a / é
/ é
x

1/a /:
/ a

/ e / e / e

n
/ i r

1/a
/ a n
/ e

/ é

/ é / r

/ r

1/a / é
/ l

/ e s / r

1/a / m

x H r u
1/a / i

/ r / a

/é /e'

/e

/u
/e

fiée par l'expérience, au contraire, on constatait toujours un accroissement de vitesse par suite de l'augmentation de la pression p_1 .

Les causes de cette divergence et des différences entre les valeurs calculées et observées des vitesses critiques sont sans doute les mêmes: d'une part le caractère instable, oscillatoire du phénomène et d'autre part la viscosité du liquide, qui défie tous les calculs basés sur l'abstraction des liquides idéals.

V.

Nous résumerons les conclusions définitives de ces expériences:

Le phénomène de Helmholtz, c'est à dire la rupture de la masse liquide quittant une petite ouverture, peut avoir lieu, en réalité, si la vitesse dépasse une valeur considérable (une vingtaine de mètres¹⁾, mais c'est un phénomène secondaire, qui n'a rien à faire avec la formation des veines d'efflux mêmes, qui peut commencer à des vitesses plus que cent fois plus petites.

D'ailleurs les expériences ne servent pas tout bien entendu, à confirmer l'hypothèse des surfaces de discontinuité de vitesse, qui nous paraît inadmissible pour des raisons expliquées au commencement. En général, la théorie de Helmholtz est très intéressante, sans doute, au point de vue théorique, puisqu'elle démontre la possibilité de tels phénomènes dans les liquides idéals, mais son application aux liquides réels n'est nullement justifiée, même pour des vitesses aussi grandes que celles que l'on a considérées, ce que démontre le fait de l'intermittence²⁾ du phénomène et le désaccord du calcul des vitesses et de l'observation directe.

Il semble que c'est un cas analogue à celui du mouvement des corps plongés dans un liquide, où les calculs basés sur l'hypothèse des liquides parfaits, et ne tenant pas compte ni de la dissipation de l'énergie ni de l'adhésion aux parois, aboutissent à des conclusions tout-à-fait incorrectes.

En outre, il faut remarquer que les solutions spéciales, trouvées jusqu'ici d'après cette méthode, exigent toutes des valeurs définies de la vitesse d'efflux pour une pression p_2 donnée, et ne répondent

¹⁾ Sans doute des vitesses beaucoup plus grandes encore seront nécessaires dans de l'eau purgée d'air.

²⁾ En connexion, sans doute, avec les „mouvements turbulents“ et la formation du son dans les tuyaux.

128 /d
/f - f

/a

/ê

/du /s

/e

/a

/u

/n

/e

/o

/Hcé

/a

/i

/n /Hcé

/a

/u

/a

/e

/a

S

/t

S

pas à la question de savoir ce qui arrive, si cette vitesse change par suite d'un changement de la pression p_1 (en amont de l'orifice).

Quant à la formation des veines d'efflux, les expériences ont prouvé que les lois de la similitude dynamique s'y appliquent parfaitement, ce qui est un argument important en faveur de notre explication, qui réduit ~~par~~ phénomène aux lois ordinaires des liquides visqueux, notamment aux effets d'inertie s'accroissant à mesure de la rapidité du mouvement (effets) par rapport aux de la viscosité du liquide.

Cette similitude dynamique donne le moyen de prédire la forme des lignes de flux d'après les fig. 3, 4, 5, 6, pour des liquides à densité et viscosité quelconque; de même il est facile d'en déduire l'influence des dimensions de l'orifice, à savoir: les vitesses correspondantes seront en proportion inverse aux dimensions et par conséquent, la veine se formera plutôt avec un orifice grand que petit¹⁾.

Cependant, l'explication donnée ne peut pas encore être considérée comme complète. Ce qui reste à faire, c'est la ~~calcule~~ théorique des lignes de flux au moyen de cette théorie, et c'est là un problème sur lequel j'espère revenir dans l'avenir.

Laboratoire de physique à l'université de Léopol.

00. M. M. KOWALEWSKI. Studya helmintologiczne, część VIII. O nowym tasiemcu: *Tatria beremis*, gen. nov., sp. nov. (*Helminthological Studies, part VIII. On a new tapeworm: Tatria biremis*, gen. nov., sp. nov.). (Études helminthologiques VIII. Sur un nouveau ténia: *Tatria beremis* gen. nov., sp. nov. Mémoire présenté par M. L. Kulczyński m. c. (Planches IX, X.)

The author describes in this paper a new representant of the subfamily Acolœinae Fuhrm., found by him in the intestine of a *Podiceps auritus* in Dublany (Galicia; Mai, 1903). Of the four genera, belonging to this group of tapeworms (4, p. 376), the genus *Acoleus* Fuhrm. bears the most resemblance to the tapeworm, mentioned above. Such difference however as absence of the lateral

¹⁾ C'est probable que l'épaisseur de la parois et la forme du vaisseau seront indifférentes, jusqu'à une certaine limite.

appendages of the proglottides, a great number (40—130) of testicles and in the first place the absence of a vaginal canal of the receptaculum seminis etc. in *Acoelus* does not allow to place the worm in question in this genus, wherefore the author proposes for it a new genus: *Tatria*. An accurate and critical analysis of the descriptions of two other tapeworms very similar to the tapeworm found by the author, namely *Taenia acanthorhyncha* Wedl 1855 and *Taenia scolopendra* Diesing 1856, and especially of the drawings adjoined to them in the papers of Wedl (8, p. 18, Tab. II, Fig. 19—22), Diesing (2, p. 35, Tab. VI, Fig. 22—27) and Krabbe (6, p. 304, Tab. VIII, Fig. 170—171) shows, that both the forms also must belong to the same genus. There is the diagnosis of this genus given by the author:

Tatria gen. nov. Proglottides with lateral appendages (Fig. 1, 2). Rostellum armed on its apex with a crown of few larger hooks and on its surface with many rings of little hooks. Genital organs single. Testicles not numerous (7?). Two seminal vesicles. Male genital opening regularly alternate (Fig. 1, 2, 7, 8, 9, 10). Receptaculum seminis in the middle axis of the proglottis (Fig. 9, 10, 12). Exterior end of its vaginal canal enters into the next posterior proglottis and joins there with receptaculum seminis of this proglottis (Fig. 9), forming in this manner a way for passing spermatozoons from one to another proglottis: a very important circumstance in case, if any of the proglottides were not fertilized immediately! Occurs in two different forms, as forma major (Fig. 2) and forma minor (Fig. 1). Hosts: Urinatores.

The new species of this new genus is characterized as follows:

Tatria biremis sp. nov. Maximal total length of body — 1,9 mm., maximal breadth — 0,7 mm. Length of rostellum (Fig. 3) about 0,41 mm. Number of hooks (Fig. 4) on its apex — 10. Their length — 0,044—0,050 mm. Number of rings (Fig. 3) of little hooks (long 0,004 mm.; Fig. 6) circa 30. Suckers and the posterior half of the head covered with minute spines (about 0,0012 mm. long; Fig. 5). Maximal number of proglottides 30, last 1—4 of them only include oncosphaerae with hooks. Number of testicles — 7 (Fig. 8, 10). Receptaculum seminis near the anterior border of the proglottis (Fig. 9, 10, 12). Longer diameter of oval embryo (Fig. 21) — 0,02 mm. Length of embryonal hooks — 0,008 mm. Host: *Podiceps auritus* Lath.

